КАЗАНСКИЙ ФЕДЕРАЛЬНЫЙ УНИВЕРСИТЕТ

Институт вычислительной математики и информационных технологий Кафедра технологии программирования

МЕТОДИЧЕСКОЕ ПОСОБИЕ ПО ПРЕДМЕТУ «АЛГОРИТМЫ И СТРУКТУРЫ ДАННЫХ В ПОСТРОЕНИИ И АНАЛИЗЕ СБИС»

Печатается по решению заседания учебно-методической комиссии Института вычислительной математики и информационных технологий Протокол № 5 от 25 декабря 2014 г.

заседания кафедры технологии программирования Протокол № 2 от 13 октября 2014 г.

Составители канд. физ.-мат. наук, доцент Р.Г.Мубаракзянов, ассист. М.М.Абрамский

Рецензент канд. техн. наук, ст. препод. **В.О.Георгиев**

М54 Методическое пособие по предмету «Алгоритмы и структуры данных в построении и анализе СБИС»: учебно-методическое пособие / Р.Г.Мубаракзянов, М.М.Абрамский. — Казань: Казан. унт, 2014. — 58 с.

Данное пособие предназначено для студентов, изучающих программную дисциплину «Алгоритмы и структуры данных в построении и анализе СБИС», а также для преподавателей, ведущих занятия по данному курсу.

Оглавление

Введение	4
1. Теоретические основы описания и конструирования с	хем 5
1.1 Булевы алгебры и булевы функции	5
1.2 Переключательные функции	10
1.3 Важные свойства булевых функций	12
2. Вычислимые функций и сложность вычислений	і (неформальное
введение)	16
2.1 Вычислимость функций	16
2.2 Сложность функций	
2.3 Примеры труднорешаемых задач	
2.4 Полиномиальная сводимость и NP -полнота	
3. Представления функций	26
3.1 Обзор подходов	26
3.2 Ограниченные классы бинарных программ	
3.3 Требование к структурам данных в формально	ой верификации
схем	36
3.4 <i>OBDD</i> – эффективная структура данных	39
3.5 Свойства редуцированных <i>OBDD</i>	
3.6 Алгоритм редукции	
4. Эффективная реализация <i>OBDD</i>	48
4.1 Основные идеи	48
4.1.1 Представление отдельного узла <i>OBDD</i>	
4.1.2 Разделяемые (shared) <i>OBDD</i>	
4.1.3 Уникальная таблица (unique) табл	
совершенность	49
4.1.4 <i>ITE</i> -алгоритм	
4.1.5 Дополнительные дуги (complemented edges	
4.1.6 Стандартные тройки	
4.1.7 Управление памятью	
4.2 Популярные <i>OBDD</i> -пакеты	
Литература	58

Введение

Основными компонентами компьютеров и других цифровых систем являются сверхбольшие интегральные схемы (СБИС или VLSI), которые представляют собой сложную комбинацию (со-единение) ограниченного числа основных, или функциональных, элементов, осуществляющих простую логическую операцию.

В схеме один или несколько заряженных входных портов (или просто входов) определенным образом соединяются с одним или несколькими выходными портами (выходами). В простейшей модели различаются два напряжения на входах и выходах: «заряжено», которое обозначается «1», и «не заряжено», которое обозначается «0». В действительности, такое бинарное представление символизирует, что заряд не выходит за пределы двух непересекающихся непрерывных интервалов зарядки. Таким образом, хотя результат работы функционального элемента, зависит не от точного значения входного сигнала, а от соответствующего интервала зарядки, можно моделировать (кодировать) входные и выходные значения функциональных элементов «0» и «1». Элементы и схемы с п входами и т выходами соответствуют функциям $\{0;1\}^n \rightarrow \{0;1\}^m$.

Настоящее методическое пособие представляет собой конспект курса лекций, прочитанных для студентов ИВМиИТ КФУ и посвященных анализу алгоритмов и структур данных, используемых в построении и анализе СБИС. Несмотря на актуальность данной тематики, в русскоязычной литературе практически отсутствует материал на эту тему. Курс базируется в основном на книге [3], а также на статьях различных авторов и собственных результатах одного из авторов.

Глава 1. Теоретические основы описания и конструирования схем

1.1 Булевы алгебры и булевы функции

В 1854 году выдающийся английский математик Джордж Буль сформулировал основные законы математической логики (алгебры логики). Американский ученый Клод Шеннон в 1936 году показал, что эти законы могут быть использованы в описании и анализе схем из функциональных элементов, которые и по сей день являются одной из мощных моделей вычисления функций, используемой для реализации алгоритмов вычисления в физических устройствах.

По традиции, основные объекты в алгебре логики называют «булевыми» в честь Дж.Буля (например, булева функция, булева формула, булева алгебра и т.п.). Рассмотрим основные определения и свойства булевых алгебр и булевых функций, которые понадобятся нам в дальнейшем.

Определение 1.1.1 Булева алгебра — набор $\langle A, +, \cdot, -, 0, 1 \rangle$, где A — множество, содержащее элементы 0 и 1, с определенными на нем бинарными операциями "+" и "·" («сложение» и «умножение») и унарной операцией "—" (или "¬") («отрицание») таких, что для всех a, b из A выполняются:

1. Коммутативный закон:

$$a + b = b + a$$
,
 $a \cdot b = b \cdot a$.

2. Распределительный закон:

$$a \cdot (b + c) = (a \cdot b) + (a \cdot c),$$

 $a + (b \cdot c) = (a + b) \cdot (a + c).$

3. Существование нейтральных элементов из A для бинарных операций " + " u ":":

$$a + 0 = a$$
$$a \cdot 1 = a$$

4. Существование обратного элемента из A относительно бинарных операций " + " u " \cdot ":

$$a + \bar{a} = 1$$
$$a \cdot \bar{a} = 0$$

Принято считать, что операция "—" имеет приоритет над операцией " \cdot ", а " \cdot " имеет приоритет над "+". То есть, к примеру, выражение $\bar{a} \cdot b$ нужно понимать как $(\bar{a}) \cdot b$, а $a + b \cdot c$ как $a + (b \cdot c)$.

В дальнейшем, будем периодически опускать знак " \cdot " и писать ab вместо а \cdot b.

Примеры булевых алгебр.

Пример 1.1.1. Пусть 2^s – множество подмножеств $S, \bar{A} = S - A$. Тогда алгебра подмножеств $\langle 2^s, \cup, \cap, -, \emptyset, S \rangle$ является булевой алгеброй с нейтральными элементами \emptyset и S относительно бинарных операций «объединение» (\cup) и «пересечение» (\cap) соответственно.

Пример 1.1.2. Пусть n > 1 имеет лишь различные простые делители: $n = p_1 p_2 \dots p_k, \ p_1 < p_2 < \dots < p_k, \ T_n -$ множество делителей n. Тогда $\langle T_n, HOK, HOД, (\cdot)^{-1}, 1, n \rangle$ является булевой алгеброй c нейтральными элементами l и n относительно бинарных операций «Наименьшее общее кратное (HOK)» и «Наибольший общий делитель (HOД)», соответственно; а также:

$$\bar{a} = (a)^{-1} = \frac{n}{a}.$$

Домашнее задание 1.1.1. Доказать, что предложенное в примере определение действительно представляет алгебру.

Булева алгебра удовлетворяет принципу двойственности:

Определение 1.1.2. Пусть G — некоторое равенство в булевой алгебре $\langle A, +, \cdot, -, 0, 1 \rangle$. Равенство G' называется двойственным κ G, если оно получено из G взаимной заменой "+" на " \cdot " и 0 на 1.

Например, для равенства

$$G: a + 0 = a$$

двойственным является

$$G': a \cdot 1 = a$$
.

Теорема 1.1.1. (Принцип двойственности) Пусть G' — двойственное равенство для G. Если G — истинное высказывание в булевой алгебре, то G' также истинно.

Справедливость теоремы очевидна, так как аксиомы булевой алгебры сохраняют истинность при переходе к своим двойственным аналогам.

Таким образом, исходя из принципа двойственности, достаточно доказывать высказывания в булевой алгебре лишь в одной из двух версий.

Теорема 1.1.2. (Основные законы вычислений) Для любых элементов a, b, c из булевой алгебры $\langle A, +, \cdot, -, 0, 1 \rangle$ выполняются:

1. Законы идемпотентности:

$$a \cdot a = a$$
, $a + a = a$.

2. Свойства нейтральности элементов:

$$a + 1 = 1,$$

$$a \cdot 0 = 0.$$

3. Законы поглощения:

$$a + (a \cdot b) = a$$
,
 $a \cdot (a + b) = a$.

4. Законы ассоциативности:

$$a + (b + c) = (a + b) + c,$$

$$a \cdot (b \cdot c) = (a \cdot b) \cdot c:$$

5. Законы Де-Моргана:

$$\frac{\overline{a+b} = \overline{a} \cdot \overline{b},}{\overline{a \cdot b} = \overline{a} + \overline{b}:}$$

6. Закон двойного отрицания:

$$\bar{\bar{a}} = a$$
.

7

Докажем, например, закон поглощения.

$$a + (a \cdot b) = a \cdot 1 + a \cdot b = a \cdot (1 + b) = a \cdot 1 = a$$
.

Домашнее задание 1.1.2. Доказать остальные утверждения.

Определение 1.1.3. *Булевы функции* — это функции, описываемые выражениями булевой алгебры или булевыми формулами.

Определение 1.1.4. Пусть $B = \langle A, +, \cdot, -, 0, 1 \rangle$ — булева алгебра. Выражение C, содержащее переменные $x_1, ..., x_n$, символы $+, \cdot, -$ и элементы A, является булевой формулой в булевой алгебре B над переменными $x_1, ..., x_n$, если:

- 1. $C \ni mo \ x, \ x \in A$;
- 2. $C 9mo \ x, \ x \in \{x_1, ..., x_n\},$
- 3. C это (для некоторых булевых формул F и G):
- или (F) + (G);
- или (F) · (G);
- или (F).
- 4. С может быть получено конечным числом применений правил 1, 2, 3.

Замечание 1.1.1 Используя приоритеты операций, можно опускать скобки.

Определение 1.1.5 Булева формула F индуцирует (порождает) функцию $f: A^n \to A$, если значение функции $f(a_1, ..., a_n)$ равно значению, получаемому при замене в формуле F переменных x_i на значения $a_i \in A$.

Определение 1.1.6 Пусть $B = \langle A, +, \cdot, -, 0, 1 \rangle$ — булева алгебра. Функция $f: A^n \to A$ называется булевой функцией, если она может быть порождена булевой формулой. Будем говорить, что формула F представляет функцию f.

Таким образом, *булевы функции* — это функции, описываемые выражениями булевой алгебры или булевыми формулами.

Определение 1.1.7 Булевы функции f и g от n переменных называются эквивалентными ($f \approx g$), если их значения совпадают на всех 2^n входных наборах из $\{0,1\}^n$.

Теорема 1.1.3 Булевы функции f и g эквивалентны тогда и только тогда, когда они совпадают (f = g), т.е.

$$\forall (a_1, ..., a_n) \in A^n : f(a_1, ..., a_n) = g(a_1, ..., a_n).$$

Доказательство: Очевидно, если функции совпадают, то они эквивалентны.

Покажем, что верно и обратное. Из аксиом и основных законов (Tеорема 0.1.2) любая булева формула может быть переписана в виде суммы:

$$F = \sum_{(a_1, \dots, a_n) \in \{0,1\}^n} b(a_1, \dots, a_n) x_1^{a_1} \dots x_n^{a_n},$$

где

$$x_i^1 = x_i, \quad x_i^0 = \bar{x}_i, \quad b(a_1, ..., a_n) \in A$$
:

Действительно, используя закон Де-Моргана, можно отрицание использовать по отношению только к переменным (то есть получим литералы). Раскрывая скобки, получаем сумму произведений литералов (мономов). Слагаемое, не содержащее одну из переменных x_i , заменяется на соответствующую сумму двух мономов, в один из которых x_i , входит без отрицания, а в другое – с отрицанием. Таким образом, любая булева функция однозначно определяется коэффициентами $b(a_1, ..., a_n)$, которые зависят лишь от конкретных наборов $(a_1, ..., a_n) \in \{0, 1\}^n$. Следовательно, если $f \approx g$, т.е. для любого набора $(a_1, ..., a_n) \in \{0, 1\}^n$

$$f(a_1, ..., a_n) = g(a_1, ..., a_n) = b(a_1, ..., a_n),$$

то f совпадает с g (f = g). \square

Следствие 1.1.1 Количество различных булевых функций равно $|A|^{2^n}$.

1.2 Переключательные функции

Теоретической основой построения схем является специальный случай булевой алгебры с двумя элементами, поэтому далее ограничимся рассмотрением лишь данной модели.

Важность этой алгебры была показана еще в 1910 году физиком Паулем Эренфестом, занимавшимся разработкой переключательных схем в телефонных сетях. Исследования, посвященные этой тематике, получили наибольшее продвижение в 1936-38 гг. в Японии, США, СССР, среди которых выделяются работы Клода Шеннона.

Итак, рассмотрим следующую булеву алгебру:

$$\langle B, +, \cdot, -, 0, 1 \rangle$$
,

где $B = \{0, 1\}, a + b = \max\{a, b\}, a \cdot b = \min\{a, b\}, \overline{0} = 1, \overline{1} = 0.$

Определение 1.2.1. Функция $f: B^n \to B$ от п переменных называется переключательной функцией.

Множество переключательных функций будем обозначать как B_n . Легко показать, что $|B_n|$ (количество различных переключательных функций) равно 2^{2^n} .

Из следствия 1.1.1 предыдущей главы следует, что количество различных булевых функций в $|B_n|$ равно 2^{2^n} . Следовательно, любая переключательная функция является булевой функцией. Поэтому в дальнейшем будем использовать термин «булева функция», подразумевая переключательную функцию.

Булева функция с n входами и m выходами описывается (m)-кой $f=(f_1,\ldots,f_m)$, где f_1,\ldots,f_m – булевы функции. Обозначим такие функции как $B_{n,m}$ ($B_{n,1}=B_n$).

Теорема 1.2.1. Число различных булевых функций от n переменных c m выходами равно $(2^m)^{2^n} = 2^{m \cdot 2^n}$.

Определение 1.2.2. Для функции $f \in B_n$ набор $a = (a_1, ..., a_n) \in B_n$ называется l-набором или выполнимым набором, если f(a) = l.

Определение 1.2.3. *1-множеством функции* $f \in B_n$ называется множество $L_f^1 = \{(a_1, ..., a_n) \mid f(a1, ..., a_n) = 1\}.$

Определение 1.2.4. Переменная x_i называется существенной для функции $f \in B_n$, если существует набор $(a_1, ..., a_n)$ такой, что

$$f(a_1, ..., a_{i-1}, 0, a_{i+1}, ..., a_n) \neq f(a_1, ..., a_{i-1}, 1, a_{i+1}, ..., a_n)$$

Функция f может быть отождествлена со своим 1-множеством L_f^1 . Фактически, f является характеристической функцией своего 1-множества:

$$f(a) = X_{L_f^1}(a) = \begin{cases} 1, a \in L_f^1 \\ 0, a \notin L_f^1 \end{cases}$$

Перечислим булевы функции от 2 или меньше переменных:

- а) от 0 переменных: константы 0, 1: $1(x_1, ..., x_n) = 1$; $0(x_1, ..., x_n) = 0$;
- b) от 1 переменной: 4 функции $\{0,1,x,\bar{x}\}, x,\bar{x}$ литералы;
- с) от 2 переменных: 16 функций (дизъюнкция (V, +), конъюнкция $(\&, \land, \cdot)$, сложение по модулю $2 \bigoplus u$ др.).

Фиксируя значения некоторых переменных функции f, можно получать ее $nod\phi y$ нкции.

Замечание 1.2.1 (разложение Шеннона). Пусть f — булева функция от n переменных, тогда для подфункций g, $h \in B_{n-1}$ таких, что

$$g(x_1, ..., x_n) = f(x_1, ..., x_{n-1}, 0)$$

 $h(x_1, ..., x_n) = f(x_1, ..., x_{n-1}, 1)$

выполняется

$$f = \bar{x}_n g + x_n h$$

Доказательство очевидно.

Замечание 1.2.2. Для определения подфункции поставим в соответствие каждой переменной x_i элемент $c(x_i)$ из $\{0,1,n\}$ так, что

$$c(x_i) = 0 \leftrightarrow x_i = 0;$$

 $c(x_i) = 1 \leftrightarrow x_i = 1;$

$$c(x_i) = n$$
, если x_i нефиксирована (свободна)

Таким образом, подфункция — это $f_c(x_1,...,x_n) = f(c(x_1),...,c(x_n))$. Следовательно, существует не более 3^n подфункций от п переменных.

Следствие 1.2.1. $\forall f \in B_n$ и $\forall i : 1 \le i \le n$ верно:

1. Разложение Шеннона по *i*-му аргументу:

$$f(x_1,...,x_n) = x_i f(x_1,...,x_{i-1},1,x_{i+1},...,x_n) + + \bar{x}_i f(x_1,...,x_{i-1},0,x_{i+1},...,x_n);$$

2. «Двойственное» разложение Шеннона:

$$f(x_1, ..., x_n) = (x_i + f(x_1, ..., x_{i-1}, 1, x_{i+1}, ..., x_n)) \cdot (\bar{x}_i + f(x_1, ..., x_{i-1}, 0, x_{i+1}, ..., x_n));$$

3. Разложение Шеннона относительно ⊕:

$$f(x_1,...,x_n) = x_i f(x_1,...,x_{i-1},1,x_{i+1},...,x_n) \oplus + \bar{x}_i f(x_1,...,x_{i-1},0,x_{i+1},...,x_n);$$

Доказательство:

- 1. очевидно;
- 2. следует из принципа двойственности;
- 3. следует из того, что одно из слагаемых равно нулю. \Box
- 1.3 Важные свойства булевых функций

Существует ряд свойств булевых функций, известных из курса дискретной математики: монотонность, симметричность и т.д. В этой главе рассмотрим некоторые из них.

Определение 1.3.1. Пусть $f \in B_n$. f монотонно возрастает (убывает) по i-му аргументу, если для любого $a \in B^n$:

$$f(a_1, ..., a_{i-1}, 0, a_{i+1}, ..., a_n) \le f(a_1, ..., a_{i-1}, 1, a_{i+1}, ..., a_n)$$

$$(f(a_1, ..., a_{i-1}, 0, a_{i+1}, ..., a_n) \ge f(a_1, ..., a_{i-1}, 1, a_{i+1}, ..., a_n))$$

Если функция монотонно возрастает (убывает) по каждому своему аргументу, она называется возрастающей (убывающей).

Теорема 1.3.1. Для того чтобы f была монотонно возрастающей (убывающей), необходимо и достаточно выполнения условия $\forall a, b \in B^n$

$$a \le b \Rightarrow f(a) \le f(b)(f(a) \ge f(b)).$$

Теорема 1.3.2. $f \in B_n$ является монотонно возрастающей (убывающей) по i-му аргументу тогда и только тогда, когда f может быть представлена g виде:

$$f = x_i g + h$$
 ($f = \bar{x}_i g + h$) для $g u h$, независящих от x_i :

Определение 1.3.2. Функция $f \in B_n$ называется симметрической, если любая перестановка π значений переменных не изменят значения функции, т.е. $f(x_1, ..., x_n) = f(x_{\pi(1)}, ..., x_{\pi(n)})$.

Таким образом, функция является симметрической тогда и только тогда, когда она зависит только от количества единиц среди переменных, но не от их позиций. Следовательно, симметрические функции однозначно определяются их значениями на векторах:

$$v_i = (0, 0, ..., 0, 1, ..., 1)$$
 – количество единиц равно i $v_i \in B^n, i = \overline{0, n}$

Замечание 1.3.1. Существует 2^{n+1} симметрических функций.

Примеры важных симметрических функций.

Пример 1.3.1. Функция Четности (Parity):

$$Par_n(x_1, ..., x_n) = \bigoplus_{i=1}^n x_i$$
.

Пример 1.3.2. Функция голосования (Majority):

$$Maj_n(x_1,...,x_n) = 1 \Leftrightarrow \sum_{i=1}^n x_i \ge \frac{n}{2}$$

Пример 1.3.3. Пороговая функция

$$T_k^n \in B_n$$
, $0 \le k \le n$:

$$T_k^n(x_1,...,x_n) = 1 \Leftrightarrow \sum_{i=1}^n x_i \ge k.$$

Пример 1.3.4. Обратная пороговая функция

$$T_{\leq k}^n \in B_n$$
, $0 \leq k \leq n$:

$$T_{\leq k}^n(x_1, \dots, x_n) = 1 \Leftrightarrow \sum_{i=1}^n x_i \leq k.$$

Пример 1.3.5. Интервальная функция:

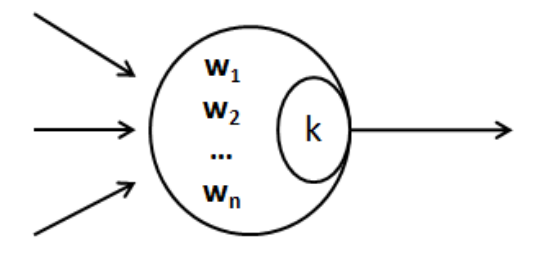
$$I_{k,m}^n(x_1,\ldots,x_n)=1 \Leftrightarrow k \leq \sum_{i=1}^n x_i \leq m.$$

Замечание 1.3.2. *Каждая симметрическая функция может быть представлена, как дизьюнкция интервальных функций.*

Пример 1.3.6. Взвешенная пороговая функция с весами $(w_1, ..., w_n) \in R_n$ и порогом $k \in R$:

$$T_{w_1,\dots,w_n}(x_1,\dots,x_n) = 1 \Leftrightarrow \sum_{i=1}^n w_i x_i \ge k.$$

Замечание 1.3.3. Эта функция играет большую роль при моделировании нейронов и конструкции нейронных сетей.



В заключение хотелось бы отметить еще один важный класс булевых функций — *частично определенные функции*. Они возникают в том случае, когда некоторые входные наборы можно не рассматривать (т.е. они не могут возникнуть или реакция системы на них несущественна). В этом случае, кроме 1-множества и 0-множества, определяется *N*-множество — множество несущественных наборов.

Глава 2. Вычислимые функций и сложность вычислений (неформальное введение)

Прежде, чем говорить о представлениях булевых функций, нам необходимо ввести некоторые понятия теории вычислимости и теории сложности.

Наряду с понятием функции как таковой, часто говорят об алгоритме ее вычисления, который может быть как интуитивным, так и формализованным с помощью какой-либо модели вычислений.

В этом контексте обычно рассматривают два вопроса:

- Существует ли в принципе алгоритм вычисления той или иной функции?
- Насколько существующий алгоритм эффективен, какие ресурсы он требует для вычисления и как можно эти затраты минимизировать?

Первый вопрос относится к теории вычислимости, в то время как второй – к теории сложности. Одна из преследуемых нами целей – разбить класс всех функций в зависимости от их характеристик на классы. Из курса «Теория автоматов и грамматик» мы знакомы с иерархией Хомского:

$$Reg \subset KCЯ (CFL) \subset K3Я \subset Gram$$

где КСЯ – контекстно-свободные языки, а КЗЯ – контекстно-зависимые языки.

В следующих разделах введем другую иерархию функций, основанную на их сложностных характеристиках.

2.1 Вычислимость функций

Определение 2.1.1. Под вычислимостью функции понимается существование алгоритма, удовлетворяющего ряду свойств (массовость, дискретность, конечность и т.д.), который за конечное число шагов по входу, кодирующему аргументы функции, выдает ответ, который содержат закодированное значение функции на этих аргументах. Такое представление вычислимости как существование абстрактного алгоритма, называется интуитивной вычислимостью.

По-другому, понятие вычислимости ассоциируется с существованием алгоритма, воплощенного в конкретной модели вычислений (машины

Тьюринга, схемы, нормального алгоритма), кото-рая за конечное число шагов получает значение функции по ее аргументу, поданному на вход в закодированном виде.

Тезис Тьюринга-Черча. Класс интуитивно вычислимых функций совпадает с классом функций, вычислимых машинами Тьюринга.

В курсе теории алгоритмов о вычислимых функциях говорят как о классе. Также вводят и другие классы, образуя между ними иерархию. Например, множество вычислимых функций является собственным подмножеством множества рекурсивно-перечислимых функций, т.е. функций, для которых существует эффективный алгоритм перечисления всех аргументов, на которых функция принимает значение 1.

О более «практической» иерархии речь пойдет в следующем разделе.

2.2 Сложность функций

При реализации алгоритма вычисления той или иной функции «в железе», важны не только сам факт существования алгоритма ее вычисления, но и ресурсы, которые этот алгоритм использует, а также возможность их минимизации. Теория сложности изучает характеристики алгоритмов с точки зрения необходимых ресурсов, возможность их оптимизации. Одна из целей теории сложности — разбиение функций в зависимости от сложности алгоритмов их вычисления на различные классы. Обычно рассматривают два типа вычислительных ресурсов — время вычисления и память, использованная при вычислении. Таким образом, говорят соответственно о временной и пространственной сложностях. Опираясь на тезис Тьюринга-Черча, а также на полиномиальную эквивалентность большинства моделей вычислений, будем использовать в этой главе машину Тьюринга как базовую модель для построения вычислительных алгоритмов. Дадим ее формальное определение.

Машина Тьюринга (МТ) – модель вычислений, состоящая из устройства управления с конечным множеством состояний, имеющая входную ленту, а также одну или несколько рабочих лент. Для простоты рассмотрим упрощенную модель машину Тьюринга с одной лентой, которую можно представить как шестерку:

$$M = \langle \sum, \{0,1\}, Q, \delta, q_s, q_0, q_1 \rangle,$$

где \sum — алфавит рабочей ленты; $\{0,1\}$ — входной алфавит (т.к. рассматриваются булевы функции); Q — конечное множество состояний, в который входят q_s — начальное состояние, q_1 — финальное принимающее состояние, q_0 — финальное отвергающее состояние; $\delta: Q \times \sum \times \{0,1\} \to Q \times \sum \times \{L,S,R\}$ — функция переходов.

На каждом шаге работы машина Тьюринга по текущим символам входной и рабочих лент и текущему состоянию определяет, согласно функции переходов, новое состояние, символы, записываемый на рабочие ленты, а также сдвиг считывающей головки по рабочей ленте.

Определение 2.2.1. Машина Тьюринга М вычисляет булеву функцию f, если на входном наборе $x=(x_1,...,x_n)$, записанном на входную ленту, М за конечное число шагов останавливается в состоянии q_0 для всех x: f(x)=0 и в состоянии q_1 для всех x: f(x)=1.

Временной сложностью машины Тьюринга M является количество шагов ее работы. Очевидно, что временная сложность будет зависеть от размера входных данных, поданных на входную ленту M. Обозначим временную сложность для МТ M через $time_M(n)$, как максимальное количество шагов МТ для всех входных слов длины не более n.

Сложностью по памяти (пространственной сложностью) машины Тьюринга принято считать количество использованных ячеек рабочих лент. В данном случае МТ имеет одну входную ленту, с которой осуществляется лишь чтение и запрещена запись, и несколько рабочих лент.

Определение 2.2.2. Класс **P** – класс всех функций, вычислимых на машинах Тьюринга с полиномиальной от размера входа временной сложностью. Формально:

$$\mathbf{P} = \{f \mid \exists MT \ M : M$$
 вычисляет $f \& time_M(n) = O(poly(n))\},$

где poly(n) - некоторый полином постоянной степени.

Существуют такие функции, для которых не удается получить полиномиальной оценки временной сложности работы алгоритма вычисления. Некоторые из этих функций могут быть вычислены за полиномиальное время на *недетерминированных машинах Тьюринга* (НМТ), для которых функции переходов при одинаковой левой части могут иметь

разные правые части. Таким образом, процесс вычисления будет иметь уже не линейную, а древовидную структуру.

Определение 2.2.3. Недетерминированная машина Тьюринга M' вычисляет функцию f, если для любого входного набора x такого что f(x) = 1, существует хотя бы один путь вычислений, при котором M' останавливается в q_1 , а на всех входных наборах x таких, что f(x) = 0, не существует ни одного пути вычисления, приводящего в q_1 .

Обозначим временную сложность для недетерминированной машины Тьюринга M' как $ntime_{M'}(n)$.

Определение 2.2.4. Класс **NP** – класс всех функций, вычислимых с помощью машин Тьюринга с полиномиальной от размера входа временной сложностью. Формально:

$$\mathbf{NP} = \{f | \exists HMT \ M: M$$
 вычисляет $f \& ntime_M(n) = O(poly(n))\},$

Очевидно, что класс \mathbf{P} является подмножеством класса \mathbf{NP} . Вопрос же о том, равны ли эти классы, т.е. существует ли для каждой задачи из \mathbf{NP} детерминированный алгоритм, решающий эту задачу за полиномиальное время, остается открытым.

Функции (в частности, из класса **NP**), для которых до сих пор не найдено полиномиального (эффективного) алгоритма, назовем труднорешаемыми.

2.3 Примеры труднорешаемых задач

На первый взгляд функции распознавания, определяющие определенное свойство, например, принадлежность входного слова языку, и имеющие лишь 2 возможных выходных значения, и вычислительные функции, имеющие в возможно, более 2-x результата, значений, представляют принципиально различные классы. Однако, с точки зрения сложности вычисления, эти классы «одинаковы». Любую вычислительную функцию можно вычислить через соответствующие функции распознавания, сложность сложности вычисления которых соответствует вычисления исходной Поэтому, функции. В дальнейшем, будем рассматривать распознавания. Поскольку любую задачу распознавания можно представить в виде булевой функции, а ее в свою очередь в виде некоторого формального

языка, будем использовать термины «задача», «функция» и «язык» равноправно, также как и «алгоритм решения задачи», «алгоритм вычисления функции», «алгоритм распознавания языка».

Приведем примеры задач из класса **NP** для которых не найдено эффективного, то есть полиномиального алгоритма решения.

SAT (**Выполнимость**). Дан набор $C = \{c_1, c_2, ..., c_m\}$ дизъюнкций на множестве булевых переменных $x = (x_1, ..., x_n)$. Существует ли такой набор значений переменных из x, при котором выполняются все дизъюнкции из C?

3-SAT (**3-Выполнимость**). Ограниченный вариант задачи SAT, где в каждую дизъюнкцию из C входят ровно три литерала.

Гамильтонов цикл. Дан граф G=(V,E). Верно ли, что G содержит гамильтонов цикл, т.е. такую последовательность $\langle v_1,v_2,...,v-n\rangle$ различных вершин графа G, что $n=|V|,\{v_n,v_1\}\in E$ и $\{v_i,v_{i+1}\}\in E$ для всех $i,1\leq i\leq n$?

Разбиение. Заданы конечное множество A и целочисленный вес s(a) для каждого $a \in A$. Существует ли подмножество $A' \subset A$ такое, что

$$\sum_{a \in A'} s(a) = \sum_{a \in A \setminus A'} s(a)$$

2.4 Полиномиальная сводимость и **NP**-полнота

Существуют задачи, для которых исследование их сложностных характеристик достаточно трудоемко. Иногда отношения сводимости позволяют упростить процесс получения оценок сложности и установления для конкретной задачи факта принадлежности какому-либо классу.

Определение 2.4.1. Функция $f_1:\{0,1\}^n \to \{0,1\}$ полиномиально сводится к функции $f_2:\{0,1\}^m \to \{0,1\}$, если существует функция $g:\{0,1\}^n \to \{0,1\}^m$, для которой выполняется два условия:

- ullet g может быть вычислена детерминировано за полиномиальное время,
- ullet Для любого набора $x=(x_1,\dots,x_n)$ $f_1(x)=1$ тогда и только тогда, когда $f_2ig(g(x)ig)=1.$

Иными словами, задача T_1 полиномиально сводится к задаче T_2 , если существует такая полиномиально вычислимая функция g, что S является решением задачи T_1 когда g(S) является решением задачи T_2 .

Приведем без доказательства следующие свойства полиномиальной сводимости, которые следуют из ее определения.

Теорема 2.4.1. Если функция f_1 полиномиально сводится κ функции f_2 , а f_2 полиномиально сводится κ f_3 , то f_1 полиномиально сводится κ f_3 .

Теорема 2.4.2. Если f_1 полиномиально сводится κ f_2 , а f_2 принадлежит некоторому классу (например, **P** или **NP**), то и f_1 принадлежит этому классу.

Последняя теорема дает принципиально новый способ исследования сложностного класса \mathbf{NP} .

Определение 2.4.2. Задача T называется **NP**-трудной, если любая задача $T' \in \mathbf{NP}$ полиномиально сводится κ T.

Определение 2.4.3. Задача Т называется NP-полной, если

- $T' \in \mathbf{NP}$,
- Т является **NP**-трудной.

Значимость **NP**-полных задач заключается в том, что если найдется детерминированный полиномиальный алгоритм хотя бы для одной из них, то это будет означать совпадение классов **P** и **NP**.

Одной из первых задач, для которых **NP**-полнота была доказана по определению, была SAT. Рассмотрим основные пункты доказательства **NP**-полноты данной задачи.

Теорема 2.4.3 (Кука [2]) Задача SAT является **NP**-полной.

Доказательство: (набросок).

Очевидно, что SAT лежит в классе NP, поскольку для недетерминированно выбранного набора значений переменных можно за полиномиальное время проверить, что все дизъюнкции истинны.

Покажем, что произвольная задача из класса **NP** полиномиально сводится к задаче SAT . По определению класса **NP**, для любой задачи из **NP**

существует недетерминированный алгоритм ee решения (недетерминированная машина Тьюринга, решающая данную задачу). NP. Используя такое «единое» представление задач ОНЖОМ специализировать полиномиальную сводимость в терминах НМТ и доказать теорему.

Рассмотрим недетерминированную машину Тьюринга M_L , распознающую язык L за полиномиальное время. Функцию сводимости f_L задачи L к задаче SAT будем формулировать в терминах НМТ M_L , чтобы она являлась отображением «поведения» машины M_L в наборы дизъюнкций $f_L(x)$. Т.е. функция f_L будет обладать тем свойством, что если слово х принадлежит языку L, то для набора дизъюнкций $f_L(x)$ существует выполняющий набор значений.

Если входное слово х принимается машиной Тьюринга M_L , то существует соответствующее вычисление осуществляемое не более чем за p(n) тактов для некоторого полинома p, где n=|x|. В таком вычислении будут участвовать не более чем p(n) ячеек, поскольку за один шаг M_L сдвигается не более чем на одну ячейку ленты. Соответствующее вычисление можно описать, используя полиномиально ограниченное число булевских переменных.

Введем три типа булевских переменных, которые будем использовать в дальнейшем.

- Q[i, k] в момент времени i машина M_L находится в состоянии q_k ,
- ullet $H[i,\ j]$ в момент времени i машина M_L просматривает ячейку с номером j,
 - S[i, j, k] в момент времени i в ячейке j записан символ s_k .

Вычисление машины M_L очевидно порождает на этих переменных набор значений истинности. С другой стороны, произвольный набор значений истинности не обязательно соответствует какому-нибудь вычислению, а уж тем более принимающему слово x. Таким образом, описание функции f_L осуществляется с помощью построения такого набора дизъюнкций из указанных переменных, что набор значений истинности будет выполняющим тогда и только тогда, когда этот набор значений кодирует некоторое принимающее вычисление на входе x, причем стадия проверки этого вычисления выполняется не более чем за p(n) шагов.

Т.е. нам необходима эквивалентность следующих утверждений:

- на входе x машина Тьюринга M_L останавливается в принимающем состоянии не более чем за p(n) шагов,
- ullet существует выполняющее задание значений истинности для набора дизъюнкций задачи $f_L(x)$.

Дизъюнкции для описания $f_L(x)$ можно подразделить на 6 групп, каждая из которых будет налагать ограничение определенного типа на выполняющий набор значений истинности.

- G1 в любой момент времени $i M_L$ находится ровно в одном состоянии,
- \bullet G2 в любой момент времени i головка просматривает ровно одну ячейку,
- G3 в любой момент времени i каждая ячейка содержит ровно один символ алфавита M_L ,
- G4 в момент времени θ вычисление находится в исходной конфигурации стадии проверки при входе x,
- G5 не позднее чем через p(n) шагов M_L переходит в при-нимающее состояние (и значит, принимает х),
- G6- Для любого момента времени $i, 0 \le i \le p(n)$, конфи-гурация программы M_L в момент времени i+1 получается из конфигурации в момент времени i одноразовым применением функции перехода.

Очевидно, что если все 6 групп дизъюнкций осуществляют поставленные цели, то выполняющий набор значений истинности обязан соответствовать принимающему вычислению на входе x.

Укажем способ построения групп дизъюнкций, осуществляющих эти цели:

G1:

$${Q[i, 0], Q[i, 1], ..., Q[i, r]}, 0 \le i \le p(n),$$

 ${\overline{Q[i, j]}, \overline{Q[i, j']}}, 0 \le i \le p(n), 0 \le j < j' \le r$

*G*2:

$$\{H[i, -p(n)], H[i, -p(n) + 1], \dots, H[i, p(n) + 1]\}, 0 \le i \le p(n),$$
$$\{\overline{H[i, j]}, \overline{H[i, j']}\}, 0 \le i \le p(n), -p(n) \le j \le j' \le p(n) + 1$$

G3:

$$\begin{split} \{S[i,j,0],S[i,j,1],\dots,S[i,j,v]\}, 0 &\leq i \leq p(n), -p(n) \leq j \leq p(n)+1, \\ \{\overline{S[i,j,k]},\overline{S[i,j,k']}\}, 0 &\leq i \leq p(n), -p(n) \leq j \leq p(n)+1, 0 \leq k < k' \leq v \end{split}$$

$$G4: \\ \{Q[0,0]\}, \{H[0,1]\}, \{S[0,0,0]\}, \\ \{S[0,1,k_1]\}, \{S[0,2,k_2]\},\dots, S[0,n,k_n]\}, \end{split}$$

G5:

$${Q[p(n), 1]}$$

 $\{S[0,n+1,0]\}, \{S[0,n+2,0], \dots, \{S[0,p(n)+1,0]\}, x = s_{k_1}s_{k_2} \dots s_{k_n}$

Несколько сложнее выглядит описание последней группы дизъюнкций G6, которая гарантирует, что каждая следующая конфигурация машины получается из предыдущей в результате применения одной команды M_L . Эта группа состоит из двух подгрупп дизъюнкций. Одна из них гарантирует, что если головка в момент i не просматривает ячейку с номером j, то символ в ячейке j на данном шаге не изменится. Вторая гарантирует, что перестройка одной машинной конфигурации в следующую происходит согласно функции перехода машины M_L .

Таким образом, мы показали, как построить группы дизъюнкций. Если $x \in L$, то у M_L на входе х есть принимающее вычисление длины не более p(n), и при заданной интерпретации это вычисление дает набор значений истинности для выполнения всех дизъюнкций из G1–G6. Таким образом, для $f_L(x)$ имеется выполняющий набор значений истинности тогда и только тогда когда $x \in L$.

Предоставим читателю доказательство полиномиальности построенной функции f_L , т.е. вычислимости функции алгоритмом с полиномиальной временной сложностью. \square

Доказательство **NP**-полноты не обязательно нужно проводить по определению. Для того, чтобы показать **NP**-полноту некоторой задачи T, необходимо доказать принадлежность T классу **NP**, а затем показать, что какая-нибудь из известных **NP**-полных задач может быть полиномиально сведена к T.

Теорема 2.4.4. 3-SAT является **NP**-полной

Доказательство: (набросок)

Недетерминированный алгоритм может угадать набор значений истинности для дизьюнкций и проверить его за полиномиальное время. Поэтому очевидно, что 3- $SAT \in \mathbf{NP}$.

Сведем задачу SAT к 3-SAT для доказательства ее **NP**-полноты. Для этого построим набор C' дизъюнкций, каждая из которых включает в себя ровно 3 литерала, и докажем, что выполнимость построенного набора эквивалентна выполнимости исходного набора C для задачи SAT.

C' строится заменой каждой конъюнкции c_j эквивалентным набором «трехлитеральных» дизъюнкций на множестве переменных U задачи SAT и на множестве U'_j дополнительных переменных, которые будут использоваться в соответствующей дизъюнкции c_j .

Покажем, как из c_j построить C'_j и U'_j . Пусть c_j задана мно-жеством $\{z_1, \dots, z_k\}$, где z_i – литералы на множестве U. Способ построения C'_j и U'_j зависит от числа k.

$$k=1$$
. Тогда $U'_j=\{y^1_j,y^2_j\},$ $C'_j=\{\{z_1,y^1_j,y^2_j\},\{z_1,y^1_j,y^2_j\},\{z_1,\bar{y}^1_j,y^2_j\},\{z_1,\bar{y}^1_j,\bar{y}^2_j\}\},$ $k=2$. Тогда $U'_j=\{y^1_j\},$ $C'_j=\{\{z_1,z_2,y^1_j\},\{z_1,z_2,\bar{y}^1_j\}\},$ $k=3$. Тогда $U'_j=\emptyset,$ $C'_j=\{\{c_j\}\},$ $k>3$. Тогда $U'_j=\{y^i_j:1\leq i\leq k-3\},$ $C'_j=\{\{z_1,z_2,y^i_j\}\cup\{\bar{y}^i_j,z_{i+2},y^{i+1}_j\}:1\leq i\leq k-4\}\cup\{\{\bar{y}^{k-3}_j,z_{k-1},z_k\}\}$

Используя построенные формулы, можно показать, что набор дизъюнкций \mathcal{C}' выполним тогда и только тогда, когда выполним \mathcal{C} . Доказательство полиномиальности построенной сводимости предоставляется читателю (воспользоваться тем, что количество дизъюнкций с тремя литералами ограничено полиномом от mn). \square

Глава 3. Представления функций

3.1 Обзор подходов

После введения понятия сложности вычисления функций, приходим к вопросу выбора представления функций. Представление должно удовлетворять следующим требованиям:

- 1. Быть достаточно коротким и эффективным.
- 2. Позволять манипулировать и вычислять функции.
- 3. Визуализировать определенные свойства функций.
- 4. Подсказывать идеи для технологий реализации.

Рассмотрим известные представления с учетом указанных выше требований.

1. Таблицы истинности.

Плюсы этого представления в быстром вычислении и выполнении бинарных операций. Однако, хотя сложность вычисления функции по таблице истинности линейна относительно размера таблицы, она экспоненциальна относительно количества переменных, а размерность таблицы экспоненциальна относительно числа переменных. Это в свою очередь является существенным недостатком данного представления.

2. Дизьюнктивные/конъюнктивные нормальные формы (ДНФ/КНФ), полином Жегалкина (без отрицаний) – двухуровневые нормальные формы.

Введем ряд дополнительных свойств представлений, которые понадобятся в дальнейшем:

Определение 3.1.1. Представление называется универсальным, если для любой булевой функции существует представление такого типа.

Определение 3.1.2. Представление называется совершенным, если для любой булевой функции существует единственное представление такого типа.

ДНФ и КНФ в общем случае не являются совершенным представлением, в отличие от совершенных ДНФ и КНФ. В случае совершенных

представлений для определения эквивалентности функций, достаточно проверить идентичность их представлений.

Определение 3.1.3. Пусть D – класс представления функций. Язык EQU_D соответствует парам (C_1, C_2) представлений в классе D, которые эквивалентны.

Определение 3.1.4. Язык INEQU_{CNF} соответствует парам КНФ (C_1, C_2) , которые неэквивалентны.

Теорема 3.1.1. Задача INEQU_{CNF} **NP**-полна.

Доказательство: 3-SAT полиномиально сводится к $INEQU_{CNF}$. Действительно, если C, C_1 , C_2 — КНФ и C_1 = C, C_2 = 0, то C ∈ 3-SAT тогда и только тогда, когда (C_1, C_2) ∈ $INEQU_{CNF}$. \square

Для любого класса сложности \mathbf{Q} можно определить «обратный» класс сложности \mathbf{coQ} следующим образом. Если язык $L \in \mathbf{Q}$, то для любого $x \in L$ есть возможность проверки, что x находится в L в пределах ресурсов \mathbf{Q} . Если язык $L \in \mathbf{coQ}$, то для любого $x \notin L$ есть возможность проверки, что x не находится в L в пределах ресурсов \mathbf{Q} .

Следствие 3.1.1. Эквивалентность КНФ соNP-полна.

Совершенные ДНФ и КНФ имеют большую длину: сложность ДНФ (количество входящих в нее литералов) для СДНФ максимальна среди всех эквивалентных ДНФ.

Теорема 3.1.2. Полином Жегалкина – совершенное представление булевых функций.

Доказательство: Любая ДНФ представима через полином Жегалкина, следовательно любая булева функция представима в виде полинома Жегалкина. С другой стороны, количество полиномов Жегалкина равно 2^{2^N} , т.е. количеству всех булевых функций, что и доказывает теорему. \square

Теорема 3.1.3. Функция
$$R(x_1, ..., x_n) = x_1 + x_2 + \cdots + x_n = x_n$$

$$\bigoplus_{I\subseteq\{1,\dots,n\},\ I\neq\emptyset}m_I=P(x_1,\dots,x_n)$$
, где $m_I=x_{i_1}\dots x_{i_S}$ для $I=\{i_1,\dots,i_S\}$
Доказательство: $P(0,\dots,0)=0$.

Пусть в наборе ровно l единиц. Тогда в P количество мономов, равных l и содержащих k переменных, равно количеству сочетаний из l по k: $\binom{l}{k}$, $1 \le k \le l$. Следовательно, количество единичных мономов $\sum_{k=1}^{l} \binom{l}{k} = \sum_{k=1}^{n} \binom{l}{k} - \binom{l}{0} = 2^{l} - 1$, то есть это число нечетно.

Следовательно,
$$P(x_1, ..., x_n) = 1 = R(x_1, ... x_n)$$
.

Следствие 3.1.2. Функция $x_1 + \cdots + x_n$ — экспоненциально сложна в представлении через полином Жегалкина.

3. СФЭ.

Переход от двухуровневых к многоуровневым формам позволяет найти более компактное представление булевых функций. Пусть $\Omega = \{w_i \in B_n, i \in I\}$ — множество базовых функций (называется базисом, если нельзя удалить ни одной функции из Ω без уменьшения замыкания Ω).

Определение 3.1.5. Ω - $C\Phi$ Э S om n переменных — ациклический граф c вершинами 2-x типов:

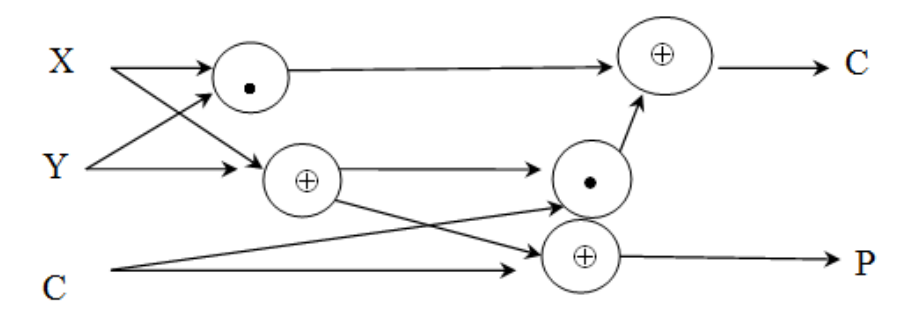
- ullet входные вершины (без входящих дуг), помеченные $0,\ 1$ или $x_i, i=1,\dots,n;$
- ullet функциональные вершины вершины, помеченные w_i , имеют n_i входящих дуг: $w_i \in \Omega, i \in I$.

Каждая вершина v представляет булеву функцию, соответствующую следующим индуктивным правилам:

- 1. Если ν помечена O(1), то $f_{\nu}(x_1,...,x_n) = O(1)$;
- 2. Если v помечена x_i , то $f_v(x_1, ..., x_n) = x_i$;
- 3. Если v помечена w_i и имеет n_i входящих дуг, выходящих из $v_1 \dots v_{n_i}$: $f_v(x_1, \dots, x_n) = w_i(f_{v_1}(x), \dots, f_{-v_{n_i}}(x))$.

Обозначив m узлов $v_1, ..., v_m$ как выходные узлы СФЭ, получим схему, представляющую функцию $f_s(x) = (f_{v_1}(x), ..., f_{v_m}(x))$.

Пример 3.1.1. Полный сумматор — хорошо известная базовая компонента в построении чипов. Эта схема вычисляет x+y+c для 3 входных битов x, y, c (c — бит переноса, $\Omega = \{\bigoplus, \cdot, \neg\}$ — стандартный базис):



Определение 3.1.6. Глубина $C\Phi \Theta$ – число функциональных уровней в $C\Phi \Theta$ (соответствует временным затратам).

Определение 3.1.7. Базис полон, если -СФЭ соответствует универсальному представлению, то есть любая булева формула может быть представлена в Ω -СФЭ.

Пример 3.1.2.

- 1. {+, ⋅, ¬} (стандартный базис) полон (ДНФ, КНФ);
- 2. $\{\bigoplus, \cdot\}$ полон;
- 3. $\{+, \cdot\}$ неполон, так как он генерирует лишь монотонно возрастающие функции.

Даже для стандартного базиса представление булевой функции неоднозначно. Интересно представление функций в СФЭ с небольшим количеством вершин.

Определение 3.1.8. Ω -С Φ Э-сложность булевой функции f — это минимальное число вершин -С Φ Э, представляющей f.

ДНФ и КНФ – специальные формы СФЭ, поэтому СФЭ-сложность в стандартном базисе не больше ДНФ-(КНФ-)сложности. С другой стороны, в большинстве случаев СФЭ-сложность меньше ДНФ-(КНФ-) сложности.

СФЭ-модель по-прежнему имеет недостаток: неприемлемая временная сложность проверки эквивалентности схем.

Теорема 3.1.4. Задача проверки эквивалентности $C\Phi$ Э над стандартным базисом **NP** -полна.

Доказательство: Сформулированная проблема лежит в классе **NP**, EQU_{DNF} полиномиально сводится к $EQU_{CΦ3}$. □

4. Формулы как СФЭ.

В СФЭ экономия происходит, в частности, в связи с тем, что выход элемента может подаваться на вход нескольких элементов. То есть, вершины могут иметь несколько выходных дуг. Именно это свойство часто позволяет построить компактное представление в виде СФЭ. Но это приводит к трудности решения различных задач.

Определение 3.1.9. Для -базиса Ω -формула — это Ω -С Φ Э, степень исхода каждой вершины которой равна 1.

Следствие 3.1.3. Ω - $C\Phi$ Θ – формула \Leftrightarrow она состоит из деревьев.

Очевидно, существует взаимно-однозначное соотношение между - формулами и булевыми формулами.

Анализ представления функции в виде -формулы намного проще, чем в виде СФЭ. Например, проще определяются нижние оценки сложности конкретных функций. Но задача проверки эквивалентности булевых формул **NP**-полна.

5. Бинарные диаграммы решений.

Определение 3.1.10. Бинарное дерево решений (б.д.р.) – дерево, в котором:

- ullet внутренние вершины помечены переменными x_i и имеют ровно 2 выходные дуги.
 - листья помечены 0 и 1.

Замечание 3.1.1. Без потери общности можно считать, что каждая переменная читается не более одного раза, то есть на любом пути от корня до листа встречается не более одного раза.

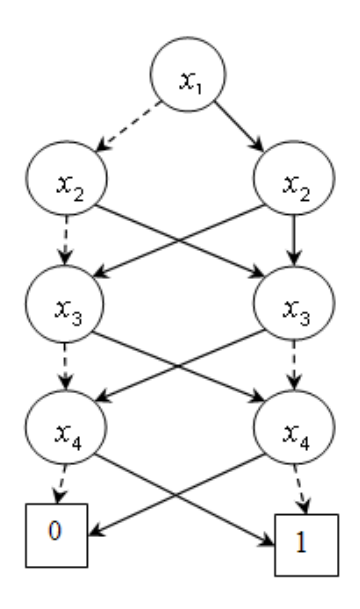
Пример 3.1.3.
$$f = (x_1 \oplus x_2)(x_3 \oplus x_4)$$

- а) Полное дерево.
- б) Неполное дерево.
- в) Изменение порядка чтения переменных существенно влияет на размер б.д.р: порядок x_1, x_2, x_3, x_4 позволяет получить более экономное представление f, чем порядок x_1, x_2, x_4 .

Определение 3.1.11. Ориентированный ациклический граф с двумя стоками, помеченными 0 и 1, и внутренними вершинами, помеченными x_i и имеющими две выходных дуги, помеченные 0 и 1, имеет разные названия: бинарные диаграмма решений (Lee, 1959), ветвящаяся программа (branching program), бинарная программа (BP) (Mask, 1976).

Определение 3.1.12. Размер (сложность) бинарной программы – количество ее вершин.

Пример 3.1.4. $x_1 \oplus x_2 \oplus x_3 \oplus x_4$



Определение 3.1.13. Пусть Р – бинарная программа. Тогда:

- 1. k-й уровень P это множество всех узлов, которые могут быть достигнуты из корня путем длины k-1 (таким образом, никакая вершина не может принадлежать разным уровням);
 - $2. \hspace{1.5cm}$ максимальная мощность w(P) уровня BP P называется шириной P

Определение 3.1.14. Пусть Р – бинарная программа. Тогда Р:

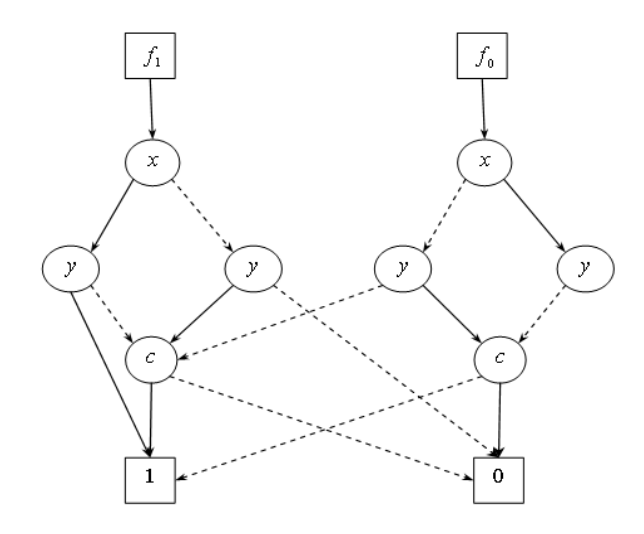
- 1. имеет ограниченную ширину k, если каждый уровень имеет ширину не более k (обозначается BP_{w-k});
- 2. синхронная, если для каждой вершины $v \in P$ все пути от корня до v имеют одинаковую длину (sBP);
- 3. забывающая, если P синхронная и все узлы одного уровня помечены одной и той же переменной (oBP);
- 4. k-раз читающая, если каждая переменная встречается на любом пути не более k раз (BPk).

Замечание 3.1.2. Можно совмещать введенные обозначения, например, $sBP4_{w3}$ – синхронная 4-раз читающая BP ширины 3.

В отличие от бинарных деревьев решений, в бинарных программах повторное чтение переменных может дать бинарную про-грамму меньшего размера (вершину v, в которой переменная читается повторно, не всегда возможно удалить, например, если v можно достичь различными путями).

Особый интерес представляет один-раз читающие бинарные программы (BP1). Например, бинарное дерево решений — BP1. Любой путь в BP1 от корня до финальной вершины — это путь вычисления.

Бинарные программы можно рассматривать и для представления функций из $B_{n,m}$ с несколькими выходами. При этом выделяются m начальных вершин.



Часто важно уметь переводить одно представление булевой функции в другое эффективно.

1. От бинарной программы можно перейти к ДНФ-представлению.

Строим моном для каждого пути. Затем рассматриваем дизъюнкцию мономов.

2. От бинарной программы можно перейти κ -СФЭ (Ω -полный базис).

Рассмотрим булеву функцию $sel(x, y, z) = xy + \bar{x}z$.

- а) Заменим каждую вершину, помеченную x_i , на sel-вершину с одним из входов, равным x_i , двигаясь от финальных вершин.
 - б) Изменим направление всех дуг.
 - в) Заменяем все *sel*-вершины на -СФЭ.
 - 3.2 Ограниченные классы бинарных программ.

Проблема 3-SAT/3-появление — это язык, состоящий из выполнимых КНФ C таких, что каждая дизъюнкция C содержит не более 3 литералов и каждая переменная встречается не более 3 раз.

Лемма 3.2.1. Проблема 3-SAT/3-появление **NP**-полна.

Доказательство:

- 1) Очевидно, что проблема 3-SAT/3-nоявление лежит в классе **NP**.
- 2) Покажем, что *3-SAT* сводится к проблеме *3-SAT/3-появление*. Пусть КНФ $C = \prod_{i=1}^n c_i$, где

$$c_i = x_{i_1}^{\alpha_{i_1}} + x_{i_1}^{\alpha_{i_1}} + x_{i_1}^{\alpha_{i_1}}, \alpha_{i_j} \in \{0,1\}, 1 \le j \le 3$$

Построим новую КНФ C'. Каждую переменную x_i при j-м появлении заменяем на новую переменную x_{ij} . Добавляем к полученной КНФ C' конъюнкции следующего вида:

$$\big(x_{i_1}+\overline{x_{i_2}}\big)\big(x_{i_2}+\overline{x_{i_3}}\big)\ldots\big(x_{ik_i}+\overline{x_{i_1}}\big)$$

где k_i – количество появлений x_i в C, если $k_i \ge 2$.

Последняя конъюнкция выполнима тогда и только тогда, когда $x_{i_j} = x_{i_m}$, $1 \leq j \leq k_i$, $1 \leq m \leq k_i$.

КНФ C выполнима тогда и только тогда когда выполнима КНФ C'. Так как сводимость может быть осуществлена за полиномиальное время, теорема доказана. \square

Пример 3.2.1. Пусть
$$C = (x_1 + \overline{x_2} + x_4)(x_2 + x_3 + \overline{x_4})$$
. Тогда $C = (x_{11} + \overline{x_{21}} + x_{41})(x_{22} + x_{31} + \overline{x_{42}})(x_{21} + \overline{x_{22}})(x_{22} + \overline{x_{21}})(x_{41} + \overline{x_{42}})(x_{42} + \overline{x_{41}})$.

Пусть x-1-набор C. Тогда если $x_{ij}=x_i$, то получаем 1-набор для C'.

Пусть x-1-набор C'. Тогда если $x_{ij}=x_i$ (для любого i все x_{ij} совпадают), то получаем l-набор для C.

Проблема SAT_X . Пусть P — представление типа X. Выполнимо ли P?

Теорема 3.2.1. Согласно обозначениям замечания 2.1.2, проблемы $SAT_{SBP3_{w2}}$ и $SAT_{oBP3_{w2}} - \mathbf{NP}$ -полны.

Доказательство:

1) *3-SAT/3-появление* полиномиально сводится к $SAT_{SBP3_{w2}}$. Пусть КНФ $C = \prod_{i=1}^n c_i$, где

$$c_i = x_{i_1}^{\alpha_{i_1}} + x_{i_1}^{\alpha_{i_1}} + x_{i_1}^{\alpha_{i_1}}, \alpha_{i_j} \in \{0,1\}, 1 \le j \le 3$$

и $C \in 3$ -SAT/3-появление.

Функция, соответствующая литералу, представляется BP1 с корнем и двумя стоками. Если отождествить 0-стоки соответствующих программ с корнем «следующего литерала», получим $BP1_{w1}$, реализующую дизъюнкцию.

Если отождествить 1-стоки соответствующих программ с корнем «следующей дизьюнкции», получим $BP3_{w1}$, от которой можно перейти к синхронной $sBP3_{w2}$ введением фиктивных узлов, из которых обе дуги ведут в одну вершину. При этом на одном уровне с нефинальными вершинами будут находиться и 0-стоки.

2) Продолжаем построение.

Каждое j-е появление переменной x_i заменим новой переменной x_{ij} . Получаем $oBP1_{w2}$ P_1 .

Затем добавим блоки, соответствующие проверке $x_{i1} = x_{i2} = x_{i3}$. Эти блоки можно представить $oBP1_{w3}$: две ветви ведут в 1-сток (для значений переменных, равных 0 и 1), а одна ветвь, состоящая из фиктивных вершин, ведет в 0-сток.

Полученные блоки соединяем в $oBP1_{w3}$ P_2 следующим образом. От 0-стока дуги направляем в среднюю фиктивную линию, а 1-сток отождествим с корнем следующего блока.

Естественным образом соединяя P_1 и P_2 , получим искомую $oBP2_{w3}$. \square **Следствие 3.2.1.** SAT_{BP2} , SAT_{oBP} , SAT_{sBP} , SAT_{BP} — **NP**-полны. EQU_{BP2} , EQU_{oBP} , EQU_{sBP} , EQU_{BP} — **coNP**-полны.

Проблема. Общий путь ВР1 (сотт-раth-ВР1). Существуют ли значения переменных *ВР1 Р*₁ и *P*₂ такие, что на них *P*₁ и *P*₂ вычисляют 1.

Теорема 3.2.2. *сотт-раth-ВР1* – **NP**-полная проблема.

Действительно, в доказательстве второй части теоремы 2.2.1~BP2 состоит из BP1, которые должны последовательно вычислять 1.

Лемма 3.2.2. SAT_{BP1} ∈ **P**.

Алгоритм осуществляет проход в ширину для проверки достижимости из корня 1-стока.

Проблема * – *SY N*_X. Пусть P_1 , P_2 – представления типа X функций f_1 и f_2 . Найти представление типа X для f_1 f_2 .

В доказательстве теоремы 3.2.1 показано, что *-SY N_{oBP} , *-SY N_{sBP} , *-SY N_{BP} для * $\in \{\Lambda, +\}$ решается легко.

Теорема 3.2.3. *- SY N_{BP1} - **NP**-трудная проблема.

Проблема comm-path-BP1 может быть решена через решение проблемы Λ – SY N_{BP1} .

Следствие 3.2.2. $+-SY N_{BP1}$, $\oplus -SY N_{BP1} - \mathbf{NP}$ -полные проблемы.

Итак, существует несколько типов представления булевых функций:

- 1. Задание значений функции (таблица истинности);
- 2. Метод вычисления булевой функции (СФЭ);
- 3. Описание схемы определения значений функции.

Эти представления имеют существенные различия:

- 1. *Размер*: таблица истинности и ДНФ $(x_1 + x_2 + \dots + x_n)$, с другой стороны $x_1 + x_2 + \dots + x_n$, представленная в виде полинома Жегалкина, имеет слагаемыми всевозможные мономы;
- 2. Ресурсы, требующиеся для вычисления функции: например, время (для таблицы истинности значение функции получается сразу, для формулы требуется вычисление).
- 3. Ресурсы, требуемые для представления результата булевых операций над двумя функциями (f * g). (Для СФЭ быстро, для $BP1 \mathbf{NP}$ -сложно).
- 4. Сложность определения свойств функции (например, «функция константа?»: просто для BP1; **NP**-сложно для $KH\Phi$: $f \notin SAT \Leftrightarrow f = const, f(0,0,...,0) = 0$).
- 5. Сложность определения фиктивности переменной (полином Жегалкина: переменная существенна \Leftrightarrow входит в полином Жегалкина, для КНФ **NP**-сложно: $f \in SAT$ для новой переменной x_0 , f существенно зависит от x_0).

Верификация схем

Таким образом, невозможно найти идеальную форму представления булевых функций. Поэтому важно расставить приоритеты. Нас интересует построение схем. Рассмотрим две проблемы из области верификации схем. Эти проблемы очень важны, и кроме того, являются подпроблемами больших проблем.

Для логических схем выделяют 2 основных типа: комбинационные схемы и схемы с элементами памяти.

Комбинационные схемы не имеют элементов памяти.

Хотя схемы с элементами памяти более функциональны, исследование комбинационных схем очень важно.

- 1. Они интересны сами по себе: как вычисление функции за один шаг.
- 2. Схемы с элементами памяти являются расширением комбинационных схем.

При построении схем важна их функциональная корректность. Описание свойств схемы называется спецификацией. Разработка логической схемы сводится к итерационным шагам: спецификация — реализация: реализация на i-ом шаге задает спецификацию i+1 шага.

Доказательство функциональной корректности может осуществляться следующим образом:

- 1. Оценка поведения спецификации и реализации на большом числе входящих векторов.
- 2. Формальная верификация (математическое доказательство).
- 3. Частичная верификация (математическое доказательство, что реализация удовлетворяет, по крайней мере, некоторым важным свойствам поведения спецификации): свойство надежности (определенные «плохие» события не могут произойти); свойство жизнеспособности (возможно, что определенные «хорошие» события произойдут).

Формальная верификация комбинационных схем.

При моделировании схем рассматриваются сети логических элементов. Логический элемент — это элементарная схема, соединяющая транзисторы так, чтобы вычислялась определенная Булева операция на входах. Задача «логического синтеза» — оптимизировать схему соответственно определенным критериям: количество элементов, размер чипа, экономия энергии, задержки и т.п.

Для решения этих задач разрабатывались системы логического синтеза. Разрабатывались такие системы и в академических центрах:

- MINI (IBM Research, 1974).
- ESPRESSO (University of California at Berkley, 1984).
- MIS (University of California at Berkley, 1987).
- BOLD (University of Colorado at Boulder, 1989).
- SIS (University of California at Berkley, 1992).

Основные требования к представлениям функций:

1. Так как в основном схемы — это сети логических элементов, то возникает необходимость представления функции, являющейся выходной для элемента на входы которого поданы другие булевы функции:

$$\begin{array}{c}
F1 \\
F2 \\
F3
\end{array}$$

Булевы операции должны осуществляться эффективно.

2. Минимизация представления (например, числа элементов схемы) важна. Например, если в результате минимизации можно получить совершенное представление, то можно проверить эквивалентны ли спецификация и реализация.

Функциональная эквивалентность должна проверяться эффективно (проблема SAT, т.е. выполнимость схемы, должна вычисляться эффективно).

3. Схемы с памятью.



На первый взгляд, описание таких схем может быть осуществлено при помощи конечных детерминированных автоматов (KDA), для которых минимизация (а значит и проверка эквивалентности) выполняется эффективно относительно количества состояний. Но, если состояние KDA кодируется 80 битами, то количество возможных состояний равно 2^{80} . Время существования Вселенной 2^{34} лет $\approx 2^{44}$ часов $\approx 2^{44}$ секунд, следовательно, если даже обрабатывать 2 миллиона состояний в секунду, то не хватило бы всего времени существования Вселенной для анализа эквивалентности состояний такого автомата.

Довольно долго работа системы оценивалась на большом множестве входов. Однако в 1994 компанией Intel проверки ненадежности процессора Pentium кончилась весьма плачевно. Ошибка Pentium FDIV — это ошибка в модуле операций с плавающей запятой в оригинальных процессорах Pentium, выпускавшихся фирмой Intel в 1994 году. Ошибка выражалась в том, что при проведении деления над числами с плавающей запятой при помощи команды процессора FDIV в некоторых случаях результат мог быть некорректным.

Данная ошибка была впервые обнаружена и опубликована профессором Линчбургского колледжа Томасом Найсли в октябре 1994 года. Стремление производителя утаить проблему и реакция на ее обнаружение вызвали недовольство потребителей и обширную критику в СМИ, в том числе жесткий репортаж CNN. В результате компания объявила, что будет свободно обменивать дефектные процессоры всем желающим. История стоила Intel более половины прибыли за последний квартал 1994 г. – \$475 млн.

Современная формальная верификация основана на эффективном представлении множества состояний, или характеристической функции множества состояний (т.е. булевой функции).

3.4 OBDD – эффективная структура данных

Начало изучения *OBDD* для *VLSI*-дизайна положили работы Брайнта [1].

Определение 3.4.1. Пусть π — порядок множества переменных $\{x_1, ..., x_n\}$: $\{x_{\pi(1)}, ..., x_{\pi(n)}\}$. OBDD (Ordered Binary Decision Diagram — упорядоченная бинарная диаграмма решений) с порядком чтения переменных π — это ациклический орграф, имеющим ровно 1 корень, 2 финальные вершины, не имеющие выходных дуг. Эти финальные вершины помечены 0 и 1 (0-вершина, 1-вершина). Каждая нефинальная вершина помечена переменной x_i и имеет 2 выходные дуги, помеченные 0 и 1. Порядок, α 0 к котором переменные встречаются на пути α 1 графах соответствуют порядку α 2, т.е. если дуга ведет от вершины, помеченной α 1, α 2 к вершине, помеченной α 3, то α 1 графах соответствуют порядку α 4.

Определение 3.4.2. *OBDD* представляет булеву функцию $f \in B_n$, если $\forall a \in B^n$ вычисленный путь на a, т.е. путь от корня до финальной вершины в соответствии c a, достигает вершину, помеченную f(a).

Следующие свойства *OBDD* очень важны:

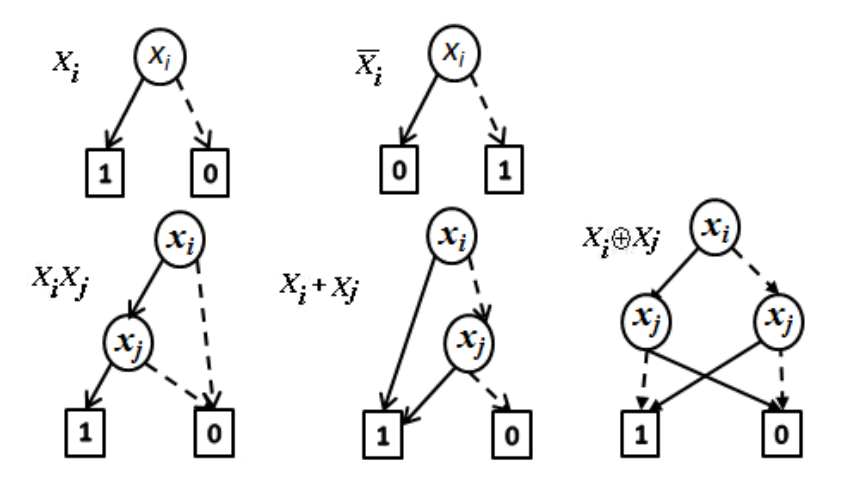
- 1. *Редуцированная OBDD* это совершенное представление булевой функции.
- 2. Манипулирование редуцированными OBDD может выполняться эффективно.
- 3. Для многих практических интересных функций OBDD имеют маленький размер.

Вершина OBDD с меткой x_i определяет разложение Шеннона:

Если *OBDD* имеет корень, помеченный x_i , и представляет функцию $f(x_1,\dots,x_n)$, то $f=x_if_{x_i}+\bar{x}_if_{\bar{x}_i}$, где

$$f_{x_i} = f(x_1, \dots, x_{i-1}, 1, x_{i+1}, \dots, x_n), f_{\bar{x}_i} = f(x_1, \dots, x_{i-1}, 0, x_{i+1}, \dots, x_n).$$

Пример 3.4.1.



Определение 3.4.3. Пусть P_1 , $P_2 - OBDD$. P_1 и $P_2 - изоморфны (<math>P_1 \approx P_2$), если существует биекция ϕ между вершинами P_1 и P_2 :

- 1. пометка v и $\phi(v)$ совпадает;
- 2. для $a \in \{0,1\}$, если a-дуга от v ведет κ w, то a-дуга от $\phi(v)$ ведет κ $\phi(w)$.

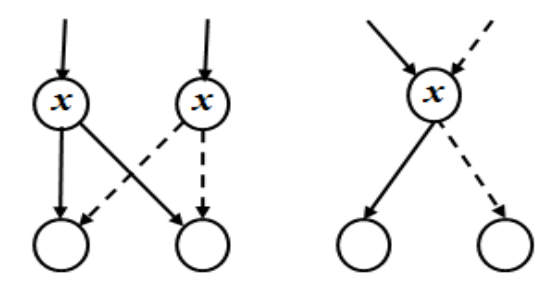
Определение 3.4.4. *OBDD* называется редуцированной, если

- не существует вершины v такой, что 1-дуга и 0-дуга от v ведут к одной и той же вершине w;
- не существует 2-х вершин v и w таких, что OBDD с корнями v и w изоморфны: $OBDD(v) \approx OBDD(w)$.

Определение 3.4.5. *2 правила редукции OBDD:*

- **Правило «удаления»**: если 1-дуга и 0-дуга от вершины v ведут к одной и той же вершине w, то можно перенаправить дуги, входящие в v, на вход w.
- Правило «склеивания»: если и и v помечены одной и той же переменной, а 1-дуги от и и v ведут к одной и той же вершине, и 0-дуги ведут к одной и той же вершине, то можно отождествить и и v, удалив

одну из этих вершин, перенаправив все ее входящие дуги к оставшейся вершине.



3.5 Свойства редуцированных OBDD

Теорема 3.5.1. *ОВDD* - редуцирована тогда и только тогда, когда неприменимо ни одно из правил редуцирования.

Доказательство:

Необходимость. OBDD редуцирована, следовательно ни одно из правил не может быть применено.

Достаточность. Пусть не может быть применимо правило «удаления». Следовательно, 1 свойство редуцированных *OBDD* выполнено.

Пусть *OBDD* имеет 2 вершины v и w и $OBDD(v) \approx OBDD(w)$. Следовательно, возможны два случая:

- $1 \cosh(u) = 1 \cosh(v)$, $0 \cosh(u) = 0 \cosh(v)$, следовательно, может быть применимо правило «склеивания».
- Пусть $u' = 1 \cosh(u) \neq 1 \cosh(v) = v'$ или $0 \cosh(u) \neq 0 \cosh(v)$. Пусть 1 неравенство выполнено, следовательно $OBDD(v') \approx OBDD(w')$. Повторим процедуру с u0 и v0. На каждом шаге уменьшается множество переменных, которые могут встречаться в под-OBDD, поэтому не более, чем за п шагов процесс приведет к возможности применить правило «склеивания», т.к. 1-вершина и 0-вершина одинаковы. \square

Покажем, что любая булева функция имеет совершенное представление в виде *OBDD* при фиксированном порядке чтения переменных.

Далее для простоты будем рассматривать естественный порядок: x_1, \dots, x_n . Рассмотрим x_i -вершину v.

На пути от корня до v читаются x_i : $j \le i - 1$.

Если вход c_1 , ..., c_n соответствует вычисленному пути, ведущему через v, то OBDD(v) вычисляет подфункцию $f_{x_1=c_1,\dots,x_{i-1}=c_{i-1}}$.

Теорема 3.5.2. Пусть S_i — множество подфункций f, полученных при фиксировании переменных $\{x_j\colon j\le i-1\}$, для которых x_i — существенна. Вплоть до изоморфизма существует единственная OBDD минимального размера для f с порядком x_1,\ldots,x_n . Эта OBDD имеет $|S_i|$ вершин, помеченных x_i .

Доказательство:

- 1. Сначала построим минимальную *OBDD P* для f, которая для любого i содержит ровно $|S_i|$ вершин, помеченных x_i .
- \bullet Если f константа, то P является графом с 2-мя вершинами (обе финальные).
- Индукционное предположение: для любого $j \ge i+1$, для любого $g \in S_j$ в P имеется ровно 1 вершина x_j -вершина v: OBDD(v) вычисляет g.
- Индукционный переход: рассмотрим i. Пусть $h \in S_i$, следовательно, h_{x_i} и $h_{\overline{x_i}}$ является константами или принадлежат S_j для некоторого $j \ge i+1$.

Для h введем вершину v_h . Пометим ее переменной x_i и направим из нее 1-дугу в h_{x_i} , а 0-дугу в $h_{\overline{x_i}}$.

P вычисляет f, что доказывается также индуктивно, т.к. P правильно вычисляет подфункции: это верно для финальных вершин: $h=x_ih_{x_i}+\overline{x_i}h_{\overline{x_i}}$

2. Минимальность P.

Доказательство от противного. Если P не минимальна, то существует $OBDD\ P'$, для которой существует индекс i такой, что P', содержит менее $|S_i|$ вершин, помеченных x_i .

Но существует $|S_i|$ различных подфункций f вида

$$f_{x_1=c_1,\dots,x_{i-1}=c_{i-1}}$$

существенно зависящих от x_i .

Рассмотрим $Q = \{(c_1, ..., c_n) | f_{x_1 = c_1, ..., x_{i-1} = c_{i-1}} \in S_i \}.$

Т.к. $f_{x_1=c_1,\dots,x_{i-1}=c_{i-1}}$ принадлежат S_i , пути, помеченные $x_1=c_1,\dots,x_{i-1}=c_{i-1}$, ведут в вершины, помеченные x_i , следовательно, существуют $\bar{a},\bar{b}\in Q$: $f_{\bar{a}}\neq f_{\bar{b}}$, но пути, помеченные \bar{a} и \bar{b} , ведут в одну и ту же вершину, что

приводит к противоречию, т.к. корень *OBDD* соответствует лишь одной подфункции.

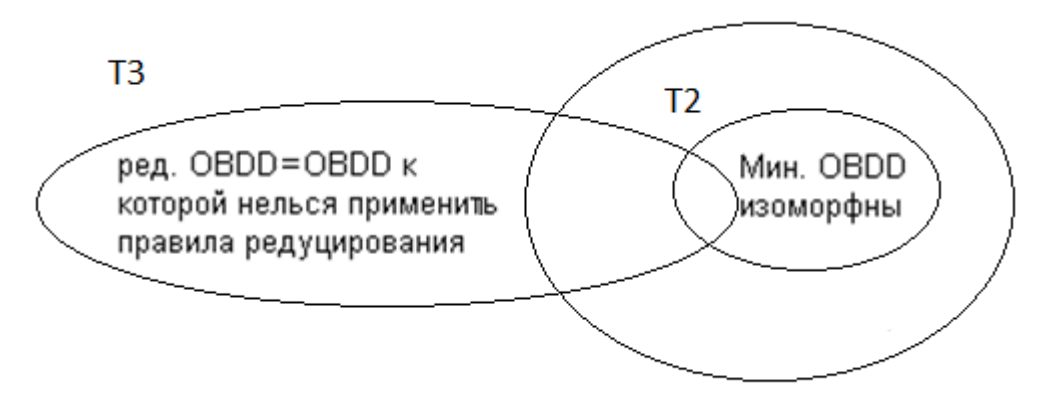
3. Минимальная *OBDD* изоморфна Р.

Следуя предыдущим рассуждениям: любая минимальная *OBDD* R с порядком $x_1, ..., x_n$ содержит для любой подфункции $g \in S_i$ вершину, помеченную x_i с сыновьями, $g_{x_i=1}$ и $g_{x_i=0}$, следовательно, любая *OBDD* с тем же количеством вершин изоморфна P, а любая *OBDD* R неизоморфная P имеет дополнительные вершины — следовательно, R не является минимальной. \square

Теорема 3.5.3. Пусть P-OBDD булевой функции f c порядком π , P- изоморфна минимальной P' для f c π тогда и только тогда, когда ни одно из правил редуцирования не может быть применимо к P.

Справедлива и обратная теорема.

Поясним смысл утверждения:



- 1. Для минимальных *OBDD* невозможно использовать правила редуцирования.
- 2. Если P неминимальна, то можно принять одно из правил редуцирования.

Доказательство:

Пусть f — не константа, $\pi = (x_1, ..., x_n)$. Из теоремы 3.5.2 следует, что любая OBDD, вычисляющая f, содержит хотя бы одну x_i -вершину для каждой подфункции из S_i . Если P не совпадает с минимальной P', то существует индекс $i \in \{1, ..., n\}$ такой, что P содержит x_i -вершин больше, чем $|S_i|$. Пусть k — максимум из таких i. Тогда в P любая подфункция из S_i для j > k

представляется в точности одной вершиной. Так как существует более $|S_k|$ x_k -вершин,

- 1. или существует x_k -вершина u, вычисляющая $g \notin S_k$, т.е. g не зависит от x_k ,
- 2. или существуют x_k -вершины v и w, в которых вычисляется одна и та же функция $h \in S_k$.

В случае,

- 1. если $g=g_{x_k}=g_{\overline{x_k}}$, то можно применить правило удаления для u, т.к $g_{x_k}=g_{\overline{x_k}}$;
- 2. если сыновья v, w вычисляют $h_{x_k} = h_{\overline{x_k}}$, то применимо пра-вило склеивания.

В обоих случаях получаем противоречие.

Следствие 3.5.1. Для любого порядка чтения переменных π редуцированная OBDD для любой булевой функции с порядком чтения π определяется однозначно (с точностью до изоморфизма).

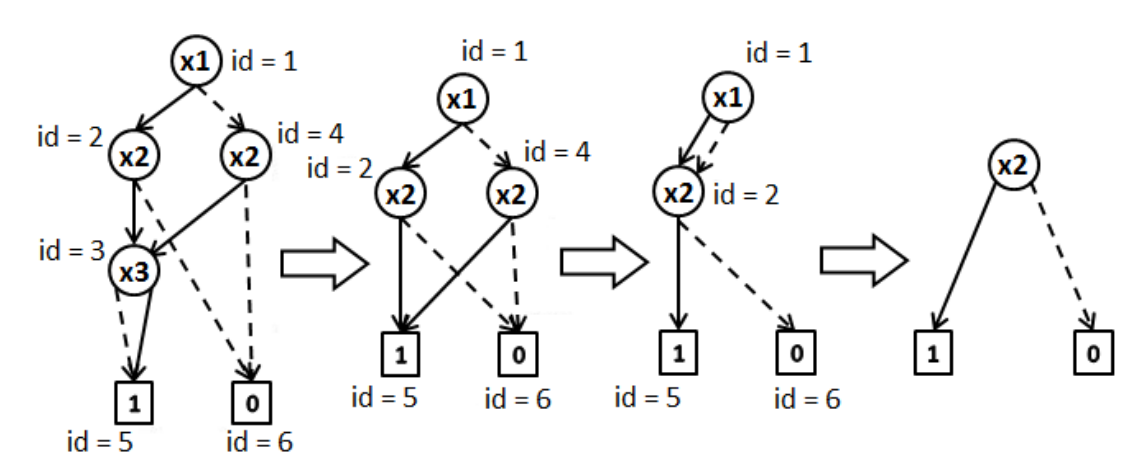
3.6 Алгоритм редукции

Основная идея: алгоритм представляет собой несколько фаз, в каждой из которых используются оба правила редукции. Алгоритм заканчивает свою работу, когда после очередной фазы размер *OBDD* остается неизменным. В каждой фазе просмотр *OBDD* осуществляется снизу вверх.

Приведем описание одной фазы (для простоты возьмем естественный порядок чтения переменных, т.е. $(x_1, ..., x_n)$).

- 1. Перенумеруем все вершины OBDD (функция id).
- 2. Для всех i от n до 1:
- 2.1 находим V_i множество x_i -вершин.
- 2.2 для всех $v ∈ V_i$ делаем следующее:
- 2.2.1. Если $id(0 \cosh(v)) = id(1 \cosh(v))$, то применяем к v правило удаления, в противном случае формируем значение функции $key(v) = (id(0 \cosh(v)), id(1 \cosh(v)))$.

- 2.3. Сортируем key(v) для V_i так, что $(key(v_i) \le key(v_{i+1}))$.
- 2.4. Для всех $v_j \in V_i$: если $key(v_j) = key(v_{j-1})$, то удаляем v_{j-1} , переводя все входящие в нее дуги в v_i



Основные конструкции.

Существует 2 основных метода построения редуцированной *OBDD* 1 метод.

- а) Строим бинарное дерево решений.
- б) Отождествляем финальные вершины, имеющие одинаковые пометки.
- в) Применяем алгоритм редуцирования (недостаток: большой размер).
- 2 метод. Начинаем с корня:
- а) Определяем, существенна ли переменная x_{i_1} , если «да», то строим вершину с двумя отростками.
- б) Для каждой новой вершины определяем подфункции, т.е. пометку и новую вершину (или отождествляем с какой-то старой). (недостаток: проверка существенности переменной и эквивалентности функций сложны).

Пример 3.6.1.

$$f(x_{1}, x_{2}, x_{3}, x_{4}) = x_{2}(x_{3} + \bar{x}_{4}) + \bar{x}_{1}\bar{x}_{2}x_{4} + x_{1}\bar{x}_{2}\bar{x}_{4},$$

$$\pi = (x_{1}, x_{2}, x_{3}, x_{4}):$$

$$f_{x_{1}} = x_{2}(x_{3} + \bar{x}_{4}) + \bar{x}_{2}\bar{x}_{4}$$

$$f_{\bar{x}_{1}} = x_{2}(x_{3} + \bar{x}_{4}) + \bar{x}_{2}x_{4}$$

$$f_{x_{1}x_{2}} = f_{\bar{x}_{1}x_{2}} = x_{3} + \bar{x}_{4}$$

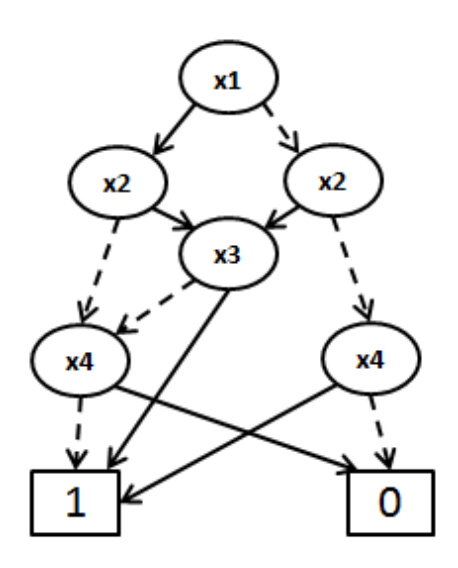
$$f_{x_{1}\bar{x}_{2}} = \bar{x}_{4}$$

$$f_{\bar{x}_{1}\bar{x}_{2}} = x_{4}$$

$$f_{x_{1}x_{2}x_{3}} = f_{\bar{x}_{1}x_{2}x_{3}} = 1$$

$$f_{\bar{x}_{1}\bar{x}_{2}x_{3}} = f_{\bar{x}_{1}\bar{x}_{2}\bar{x}_{3}} = x_{4}$$

$$f_{x_1 x_2 \bar{x}_3} = f_{\bar{x}_1 x_2 \bar{x}_3} = f_{x_1 \bar{x}_2 x_3} = f_{x_1 \bar{x}_2 \bar{x}_3} = \bar{x}_4$$



Пусть * — булева операция: например, конъюнкция или дизъюнкция. Покажем, как построить OBDD для функции f*g, если известны OBDD для f и g. Верно следующее разложение:

$$f * g = x_i(f_{x_i=1} * g_{x_i=1}) + \bar{x}_i(f_{x_i=0} * g_{x_i=0}).$$

Рекурсивная конструкция.

Строим *OBDD P*₁ и *P*₀ для
$$(f_{x_i=1} * g_{x_i=1})$$
 и $(f_{x_i=0} * g_{x_i=0})$.

Вводим x_i -вершину, а-сын которой есть корень P_a , $a \in \{0,1\}$. Разложение f и g на подфункции связанно с необходимостью рассматривать 2^n подфункций. Выходом является рекурсивная процедура с движением по узлам P_1 и P_0 . Каждому узлу новой OBDD ставится в соотношение пара (f,g), где f, g – узлы P_1 и P_0 соответственно (пары образуют Table).

Алгоритм:

```
вход: ОВDD F и G для f и g с порядком чтения переменных \pi, * — бинарная операция, выход: ОВDD для f * g Орег(F, G, *) if (F и G — финальные вершины) then Return(F * G) else if (F, G) \in Table then Return(F G)
```

```
// x_i - первая переменная в \pi // существенная для F или G // Строим новую x_i-вершину v: 0-\mathrm{сыh}(v)=Oper(F_{x_i=0},G_{x_i=0},*); 1-\mathrm{cыh}(v)=Oper(F_{x_{i=1}},G_{x_{i=1}},*); InsertTable(F,G,v); Return(v); }
```

Полученные *OBDD* в общем случае не редуцированы.

Теорема 3.6.1. Пусть f_1 и f_2 представлены OBDD P_1 и P_0 соответственно. Тогда для любой булевой операции * редуцированная OBDD Pфункции $f_1 * f_2$ может быть построена за время порядка $O(\operatorname{size}(P_1) * \operatorname{size}(P_0))$.

Без доказательства.

Теорема 3.6.2. Пусть булевы функции f_1 и f_2 представлены OBDD P_1 и P_2 соответственно, тогда тест на эквивалентность представлений может быть выполнен за время $O(\operatorname{size}(P_1) + \operatorname{size}(P_2))$.

Для этого сначала редуцируем P_1 и P_2 . Затем проверяется изоморфизм полученных OBDD (переход в глубину по обеим OBDD параллельно).

Глава 4. Эффективная реализация *OBDD*

Для практических приложений также необходимо эффективно осуществлять реализацию *OBDD* по времени и памяти.

- 4.1 Основные идеи
- 4.1.1 Представление отдельного узла OBDD

Центральной идеей является *представление отдельного узла OBDD* при помощи трех полей:

- index (2 байта) индекс i переменной x_i ;
- left, right (2 поля по 4 байта) ссылки на сыновей узла.

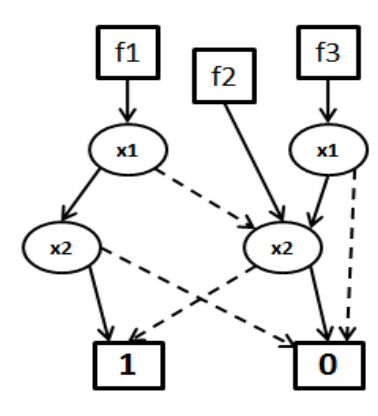
Таким образом, количество переменных \leq 65536. Это позволит получать ссылку на адреса полного виртуального адресного пространства (при 32-битной архитектуре полное адресное пространство имеет размерность $2^{32} \approx 4 \times 10^9 \approx 4 Gb$ узлов).

Для практической реализации может быть полезна дополнительная информация, связанная с каждым узлом. Но большие редуцированные *OBDD* требует осторожного увеличения хранимой информации. Компромисс между эффективностью введения дополнительной информации для любого узла и общим размером *OBDD* требует большой работы.

4.1.2 Разделяемые (shared) OBDD

Некоторые функции могут быть представлены одним и тем же ациклическим орграфом с несколькими корнями. Такое представление назовем разделяемыми OBDD.

Пример 4.1.1.
$$f_1=(x_1\equiv x_2)$$
, $f_2=\bar{x}_2$, $f_3=x_1\bar{x}_2$



В таких разделяемых *OBDD* можно добиться того, что каждая подфункция представляется не несколько раз, Тогда a ЛИШЬ ОДИН. будет совершенным, представление OBDDне только строго совершенным. При этом две эквивалентные функции f и g не только имеют единую редуцированную *OBDD*, но при реализации соответствуют ссылке на один и тот же элемент памяти, следовательно, проверка на эквивалентность требует лишь одной операции сравнения.

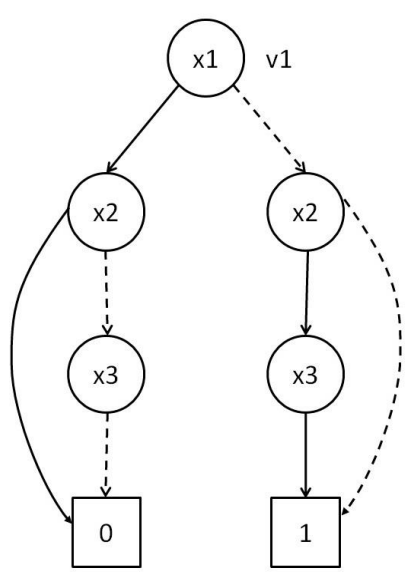
4.1.3 Уникальная таблица (unique) таблица и строгая совершенность

Строгая совершенность в сочетании с представлением в виде разделяемых OBDD позволяет сохранять все OBDD (конструируемые последовательно) в редуцированной форме. То есть каждая частичная функция представляется в OBDD ровно 1 раз.

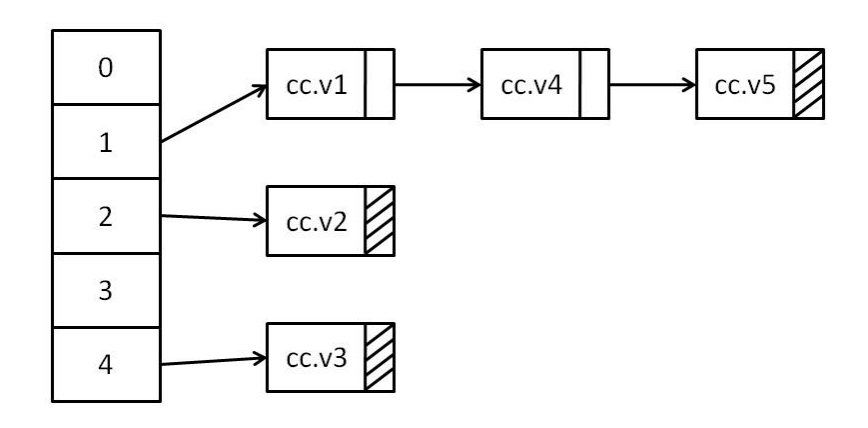
Каждый раз, когда должна добавляться новая x_i -вершина, определяется ее 1-сын и 0-сын (которые уже существуют). Затем проверяется, нет ли уже вершины с такой спецификацией. Если «нет», строится новая вершина; если «да», используется существующий узел.

Для определения существования узла (тройки $\langle x_i, 0 - \text{сын}, 1 - \text{сын} \rangle$) Чтобы таблица. используется уникальная ускорить тройки, поиск хэш-функция h. При ЭТОМ используются определяется число, соответствующее тройке. Различные тройки могут соответствовать одному значению h. Такие тройки удобно сохранять в виде списка.

Пример 4.1.2. Пусть функция $f(x_1, x_2, x_3)$ задается бинарной программой со следующей нумерацией вершин.



Можно ускорить алгоритм, храня узлы в виде списков. Используем для тройки (x_i, v_j, v_k) хеш-функцию $h(x_i, v_j, v_k) = (i + j + k) \ mod \ 5$. Тогда в основную конструкцию узла стоит добавить поле *NEXT*. Тогда



4.1.4 ІТЕ-алгоритм.

Пусть имеется представление функций f и g в виде OBDD. Для представления в виде OBDD функции f * g для некоторой бинарной операции используется разложение Шеннона:

$$f * g = x_i (f_{x_i} * g_{x_i}) + \bar{x}_i (f_{\bar{x}_i} * g_{\bar{x}_i})$$

ITE-оператор — это булева функция от трех переменных, соответствующая оператору *if* x *then* y *else* z.

$$ITE(x,y,z) = x \cdot y + \bar{x} \cdot z$$

Все булевы функции от двух переменных можно представить в виде *ITE* - оператора:

	Функция (f, g)	<i>ITE</i> -оператор	
0000	0	0	
0001	$f \cdot g$	ITE(f, g, 0)	
0010	$f \not\rightarrow g$	$ITE(f,\bar{g},0)$	
0011	f	f	
0100	$f \leftrightarrow g$	ITE(f, 0, g)	
0101	g	g	
0110	$f \oplus g$	$ITE(f, \bar{g}, g)$	
0111	f + g	ITE(f,1,g)	

1000	$\overline{f+g}$	$ITE(f, 0, \bar{g})$	стрелка Пирса
1001	$f \equiv g$	$ITE(f,g,\bar{g})$	
1010	$ar{g}$	ITE(g,0,1)	
1011	$f \leftarrow g$	$ITE(f,1,\bar{g})$	
1100	$ar{f}$	ITE(f,0,1)	
1101	$f \rightarrow g$	ITE(f, g, 1)	
1110	f g	$ITE(f,\bar{g},0)$	штрих Шеффера
1111	fg	1	

Пусть f, g, h — булевы функции и x_i — первая переменная в порядке. Для вычисления ITE(f,g,h) используется следующая рекурсивная декомпозиция:

$$ITE(f,g,h) = f \cdot g + \bar{f} \cdot h = x_i (f_{x_i} \cdot g_{x_i} + \bar{f}_{x_i} \cdot h_{x_i}) + \bar{x}_i (f_{\bar{x}_i} \cdot g_{\bar{x}_i} + \bar{f}_{\bar{x}_i} \cdot h_{\bar{x}_i})$$

$$= (x_i, ITE(f_{x_i}, g_{x_i}, h_{x_i}), ITE(f_{\bar{x}_i}, g_{\bar{x}_i}, h_{\bar{x}_i}))$$

Эта тройка соответствует вершине, которая определялась для уникальной таблицы.

Рекурсивное построение *ITE* заканчивается, если

- а) первый аргумент константа: ITE(1, f, g) = f; ITE(0, f, g) = g;
- б) или ITE(f, 1, 0) = f; ITE(f, g, g) = g.

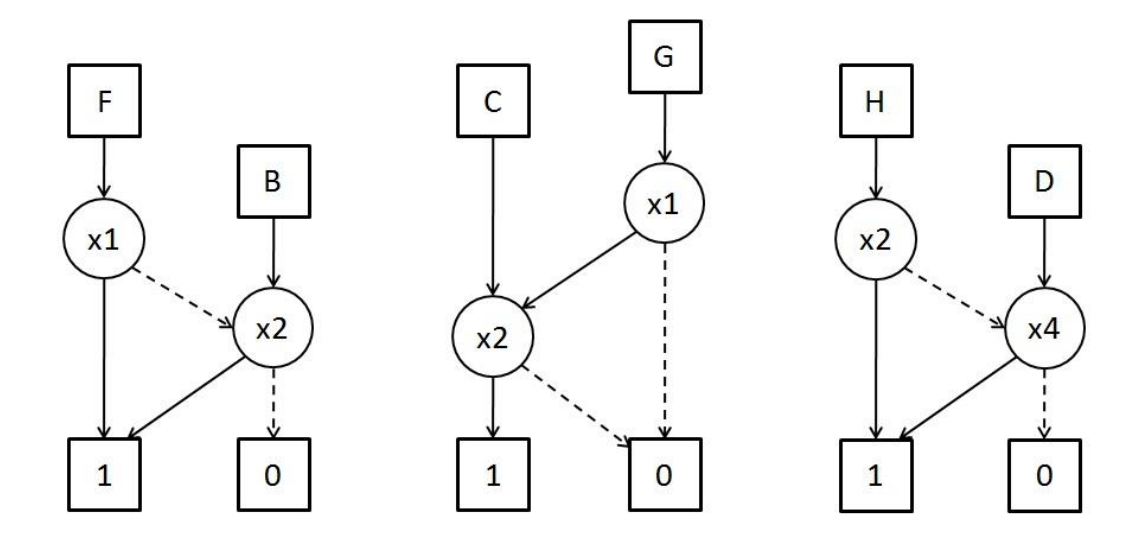
Пусть f, g, h представлены с помощью OBDD F, G, H, тогда временная сложность построения ITE(f,g,h) ограничена кубической функцией

$$O(size(F) \cdot size(G) \cdot size(H)),$$

так как любая тройка вершин из F, G, H в данном алгоритме встречается не более одного раза.

Если рассматривать бинарную операцию для f,g, представленных с помощью OBDD F,G сложность построения соответствующей OBDD ограничена даже квадратичной функцией. Действительно, если один из аргументов ITE — константа, то будет изменяться только пара вершин. Тот же эффект наблюдается, если два аргумента ITE совпадают или, как будет показано позже, противоположны.

Пример 4.1.3. Пусть
$$f = x_1 + x_2$$
, $g = x_1 \cdot x_2$, $h = x_2 \cdot x_4$.

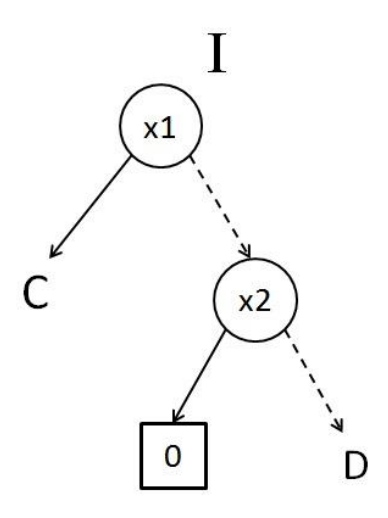


$$I = ITE(F, G, H) = (x_1, ITE(F_{x_1}, G_{x_1}, H_{x_1}), ITE(F_{\bar{x}_1}, G_{\bar{x}_1}, H_{\bar{x}_1}))$$

$$= (x_1, ITE(1, C, H), ITE(B, 0, H))$$

$$= (x_1, C, (x_2, ITE(B_{x_2}, 0, H_{x_2}), ITE(B_{\bar{x}_2}, 0, H_{\bar{x}_2})))$$

$$= (x_1, C, (x_2, ITE(1, 0, 1), ITE(0, 0, D))) = (x_1, C, (x_2, 0, D))$$



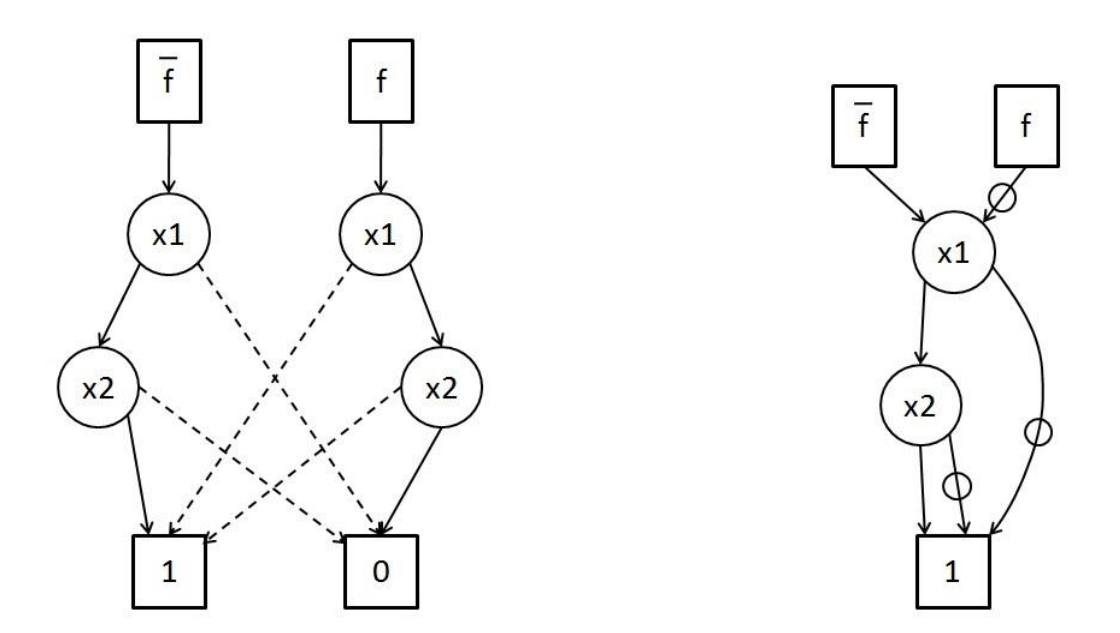
Для ITE -алгоритма можно рассматривать не только временную сложность, но и затраты на сохранение информации. Для запоминания троек функций, соответствующих ITE, используются кэш-базированные хэштаблицы. В них хранятся не всевозможные тройки, а лишь ограниченное количество ($\leq k$) для каждого значения хэш-функции.

Старые значения затираются новыми значениями. Если какое-то из затертых значений необходимо восстановить, оно перевычисляется. Это может привести к существенному росту времени реализации, но это происходит крайне редко. Кроме того, в *ITE*-алгоритме результат вычисления требуется довольно быстро после своего вычисления. Чем больше времени прошло после вычисления узла, тем меньше вероятность, что он понадобится.

4.1.5 Дополнительные дуги (complemented edges).

Пусть функции f и \bar{f} представляются графами, у которых различаются лишь финальные вершины. Как использовать этот факт? Свяжем с каждой дугой *бит дополнения*. Если он равен 0, то вычисляется оригинальная функция, если он равен 1, то вычисляется дополнение оригинальной функции, тогда f и f вычисляются на одном и том же графе. При этом из OBDD можно удалить оригинальную f0-вершину.

Далее будем помечать на рисунках каждую дополнительную дугу кружком.



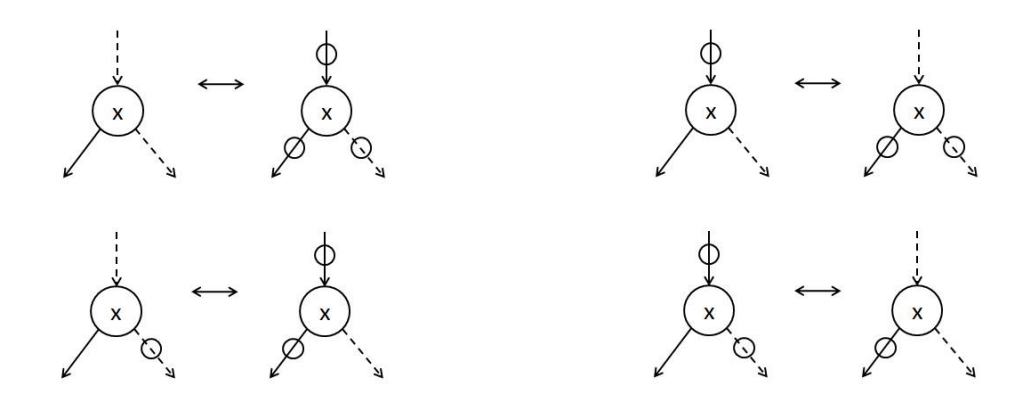
При добавлении дополнительных дуг совершенность представления теряется. Дело в том, что одна и та же функция может теперь представляться по-разному:

$$\overline{x_i \cdot f + \bar{x}_i \cdot g} = \overline{x_i \cdot f} \cdot \overline{\bar{x}_i \cdot g} = (\bar{x}_i + \bar{f}) \cdot (x_i + \bar{g}) = x_i \cdot \bar{f} + \bar{x}_i \cdot \bar{g} + \bar{f} \cdot \bar{g}$$

$$= x_i \cdot \bar{f} + \bar{x}_i \cdot \bar{g} + (x_i + \bar{x}_i) \cdot \bar{f} \cdot \bar{g} = x_i \cdot (\bar{f} + \bar{f} \cdot \bar{g}) + \bar{x}_i \cdot (\bar{g} + \bar{f} \cdot \bar{g})$$

$$= x_i \cdot \bar{f} + \bar{x}_i \cdot \bar{g}$$

С тройкой дуг около одного узла (две выходные дуги, одна входная) можно связать 8 реализуемых функций, в зависимости от того, какая из дуг заменена на дополнительную дугу. Но количество полученных при этом функций равно 4.



Таким образом, для совершенности представления никогда не дополняются 1-дуги. Когда при построении *OBDD* добавляется вершина, изменяются биты дополнительных дуг так, чтобы это свойство сохранялось. Это требование достаточно, чтобы сохранить совершенность представления. При этом важно, что, как правило, дуга к корню должна быть дополнена. Это важно в частности для представления функций 0-вершины.

Преимущество представления ОВDD при помощи дополнительных дуг:

- Компактность представления (размер может уменьшиться до 50 процентов)
 - Отрицание функции реализуется за константное время
- Выполнение булевских операций ускоряется при использовании ряда правил, например, $f \cdot \bar{f} = 0$, $f + \bar{f} = 1$.

Использование дополнительных дуг для *ITE*-алгоритма ограничивает временную сложность квадратично.

Теорема 4.1.1. Пусть функции f_1 и f_2 представляются OBDD P_1 и P_2 с дополнительными дугами. Для любой булевой операции * редуцированная OBDD для $f_1 * f_2$ определяется при помощи ITE-алгоритма за время $O(\operatorname{size}(P1) \cdot \operatorname{size}(P2))$.

На практике применение дополнительных дуг дает экономию размера около 10 процентов, а экономию времени – до двух раз.

4.1.6 Стандартные тройки.

Существует разложение троек функций (f_1,f_2,f_3) и (g_1,g_2,g_3) такое, что $ITE(f_1,f_2,f_3)=ITE(g_1,g_2,g_3)$

$$f \lor h = f + g = ITE(f, f, g) = ITE(f, 1, g)$$
$$= ITE(g, 1, f) = ITE(g, g, f)$$

Рассмотрим некоторые правила, переводящие тройки в стандартную форму. Первая серия заменяет функцию на константу, если это возможно.

$$ITE(f, f, g) \Rightarrow ITE(f, 1, g)$$

 $ITE(f, g, f) \Rightarrow ITE(f, g, 0)$
 $ITE(f, g, \bar{f}) \Rightarrow ITE(f, g, 1)$
 $ITE(f, \bar{f}, g) \Rightarrow ITE(f, 0, g)$

Если использовать дополнительные дуги, то проверка, что две функции, использованные в ITE, являются дополнением друг друга, требует константного времени. Серия финальных правил ITE-алгоритма:

$$ITE(f,1,0) = f$$

$$ITE(f,0,1) = \bar{f}$$

$$ITE(1,f,g) = f$$

$$ITE(0,f,g) = g$$

$$ITE(f,g,g) = g$$

Следующие правила используют коммутативность *ITE*, если второй или третий аргумент - константа или дополнение друг друга:

$$ITE(f,1,g) = ITE(g,1,f)$$

$$ITE(f,g,0) = ITE(g,f,0)$$

$$ITE(f,g,1) = ITE(\bar{g},\bar{f},1)$$

$$ITE(f,0,g) = ITE(\bar{g},0,\bar{f})$$

$$ITE(f,g,\bar{g}) = ITE(g,f,\bar{f})$$

Типичен выбор такого распределения пар функций, чтобы первый аргумент зависел от переменной, которая является первой в порядке. Если первый аргумент — это просто переменная x_i , а остальные аргументы не зависят от x_i , получаем x_i -вершину.

$$ITE(f, g, h) = (x_i, g, h),$$

$$(f = x_i) \& (x_i < topvar(g)) \& (x_i < topvar(f));$$

где topvar(g) — первая в порядке переменная, существенная для g. Следующие правила связаны с использованием дополнительных дуг:

$$ITE(f,g,h) = ITE(\bar{f},g,h) = \overline{ITE(f,\bar{g},\bar{h})} = \overline{ITE(\bar{f},\bar{g},\bar{h})}$$

Каждая из трех функций f,g,h может быть представлена обычной или дополнительной дугой. Из четырех эквивалентных представлений есть ровно одно, где 2 первых аргумента не представлены дополнительной дугой. Эта тройка и является стандартной тройкой представления в вычислительной таблице.

Указанные правила отображают правила де Моргана.

Пример 4.1.4. Пусть реализована функция f + g = ITE(f, 1, g).

Если нужно реализовать $\bar{f} \cdot \bar{g} = ITE(\bar{f}, \bar{g}, 0) = \overline{ITE(f, 1, g)}$, то используется уже сформированная стандартная тройка (f, 1, g), соответствующий узел соединяется дополнительной дугой.

4.1.7 Управление памятью

Важное значение при реализации *OBDD* имеет управление памятью.

Указанный принцип построения основан на постепенной замене одних OBDD другими: каждый функциональный элемент — малая OBDD, к соответствующим OBDD применяется булева операция (ITE-оператор).

Для экономии памяти в частности используются:

- 1. Механизм сбора мусора.
- 2. Для хранения уникальной таблицы для каждого узла заводится поле *NEXT* (ссылка на следующий узел в списке коллизий).

Дополнительные дуги кодируются следующим образом. Узлы *OBDD* кодируются адресом, кратным 2. Поэтому адреса узлов сыновей, записанных в полях узла, имеют в последнем бите 0. Если ссылка на сына имеет в последнем бите 1, то соответствующая дуга рассматривается как дополнительная.

4.2 Популярные OBDD-пакеты

1. OBDD-пакет Brace, Rudell и Bryant.

Разработан в 1989-1990г и представлен в 1990 – Carnegie Melon University.

Их цель состояла в том, чтобы расширить возможность верификационного программного пакета, позволявшего тестировать транзисторные схемы, когда транзисторы рассматриваются на абстрактном уровне как переключатели.

В этом пакете были разработаны основные принципы представления информации.

2. *OBDD*-пакет Лонга (Long)

Carnegie Melon, 1993. Этот пакет использовался в SIS (последовательный синтез, Университет Беркли), и в AT&T.

3. CUDD-пакет (Colorado University Decision Diagrams).

F.Somenzi, апрель 1996. Важное свойство пакета – использование множества алгоритмов, улучшающих порядок чтения переменных.

Литература

- 1. Meinel, Ch. Algorithms and data Structures in VLSI Design: OBDD-foundations and applications/ Ch. Meinel, T.Theobald.— Springer-Verlag, Berlin, Heidelberg, 1998.—267 P.
- 2. Meinel Ch., Mubarakzjanov R. Nonlinear Sifting of Decision Diagrams// Proc. of the 2002 International Conference on VLSI, June 24-27, Monte Carlo Resort, Las Vegas, Nevada, USA. P. 117-123.
- 3. Frank Pfenning. Principles of Imperative Computation // Lecture Notes on Binary Decision Diagrams. Lecture 19.– 2010.– https://www.cs.cmu.edu/~fp/courses/15122-f10/lectures/19-bdds.pdf
- 4. William Lovas. Principles of Imperative Computation // Lecture Notes on Binary Decision Diagrams. Lecture 25.— 2011. http://www.cs.cmu.edu/~wlovas/15122-r11/lectures/25-bdds.pdf
- 5. Гэри, М.Р. Вычислительные машины и трудно-решаемые задачи/ М. Р. Гэри, М. Джонсон. М.: Мир, 1982.— 416 с. (Оригинал: Garey M.R., Jonson M. Computers and intractability: a guide to the theory of \$NP\$-completeness.— San Francisco, USA: W.H. Freeman.— 1978.)
- 6. Bryant, R.E. Graph-based algorithms for Boolean function manipulation/ R.E. Bryant// IEEE Transactions on Computers. 1986. No. 35. P. 677-691.
- 7. Motvani R. and Raghavan P. Randomized Algorithms. Cambridge University Press, Cambridge, 1995. 367 P.
- 8. Mubarakzjanov R. On probabilistic OBDDs with constant width// Proc. of the Workshop on Computer Science and Information Technologies CSIT'2000, Ufa, Russia, September 18-23, 2000. 2000. V.2. P.62-68.
- 9. Mubarakzjanov R. Probabilistic OBDDs: on Bound of Width versus Bound of Error// Electronical Colloquium on Computational Complexity, Trier University, Trier.- ECCC TR00-085, 2000, http://eccc.hpi-web.de/report/2000/085/
- 10. Mubarakzjanov R. Bounded-width probabilistic OBDDs and read-once branching programs are incomparable// Electronical Colloquium on Computational Complexity, Trier University, Trier. ECCC TR01-037, 2001, http://eccc.hpi-web.de/report/2001/037/
- 11. Newman I. Testing of function that have small width branching programs// Proc. of the 41st Annual Symposium on Foundations of Computer Science, FOCS 2000, 12-14 November 2000. IEEE Computer Society. Redondo Beach, California, USA, 2000. P. 251-258.
- 12. Okol'nishnikova E.A. On lower bounds for branching programs// Siberian Advances in Mathematics. 1993. 3(1). P. 152-166.

- 13. Paturi R., Simon J. Probabilistic communication complexity// Journal of Computer and System Sciences. 1986. 33(1). P. 106-123.
- 14. Ponzio S. A lower bound for integer multiplication with read-once branching programs//Proc. 27-th STOC. 1995. P. 130-139.
- 15. Rabin M.O. Probabilistic Automata// Information and Control. 1963. 6, No. 3. P. 230-245. (Рус. пер.: Кибернетический сборник. М.: Мир. вып. 9.-1964. С. 123-141.)
- 16. A.A. Razborov, Lower bounds for deterministic and nondeterministic branching programs}, Proc. Fundamentals in Computing Theory, Springer, Lecture Notes in Computer Science, 529, 47-60.-1991.
- 17. Sauerhoff M. On nondeterminism versus randomness for read-once branching programs/Electronical Colloquium on Computational Complexity, Trier University, Trier. ECCC, TR97-030. 1997. http://eccc.hpi-web.de/report/1997/030/
- 18. Sauerhoff M. Comment Correction to "Randomness and Nondeterminism are Incomparable for Read-Once Branching Programs/Electronical Colloquium on Computational Complexity, Trier University, Trier. ECCC TR98-018, 1998, http://eccc.hpi-web.de/report/1998/018/
- 19. Sauerhoff M. Lower bounds for randomized read-k-times branching programs//Proc. of STACS, LNCS 1373. Springer Verlag. 1998. P. 105-115.
- 20. Sauerhoff M. Complexity theoretical results for randomized branching programs/ PhD. thesis, Univ. of Dortmund, Shaker. 1999.
- 21. Savicky P., Zak S. A large lower bound for 1-branching programs/Electronical Colloquium on Computational Complexity, Trier University, Trier. ECCC, Revision 01 of TR96-036, 1996, http://eccc.hpi-web.de/report/1996/036/.
- 22. Savicky P., Zak, S. A hierarchy for (1,+k)-branching programs with respect to k // Proc. MFCS'97, LNCS 1295. 1997. P. 478-487.
- 23. Sieling D. und Wegener I. Graph driven BDDs a new data structure for Boolean functions// Theoretical Computer Science. 1995.– No. 141. P. 283-310.
- 24. Wegener I. Branching Programs and Binary Decision Diagrams: Theory and Applications. SIAM Monographs on Discrete Mathematics and Applications. Philadelphia, USA, 2000.–408 P.